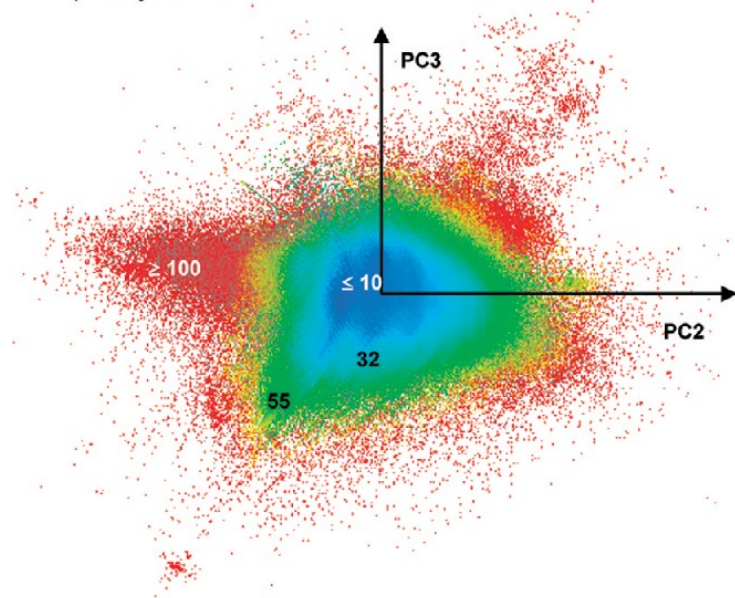
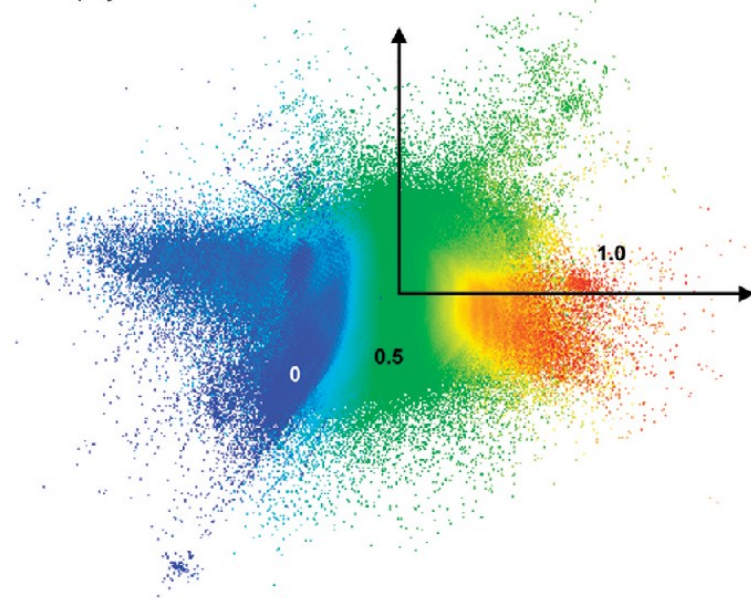


Synthèse pour la Diversité Moléculaire

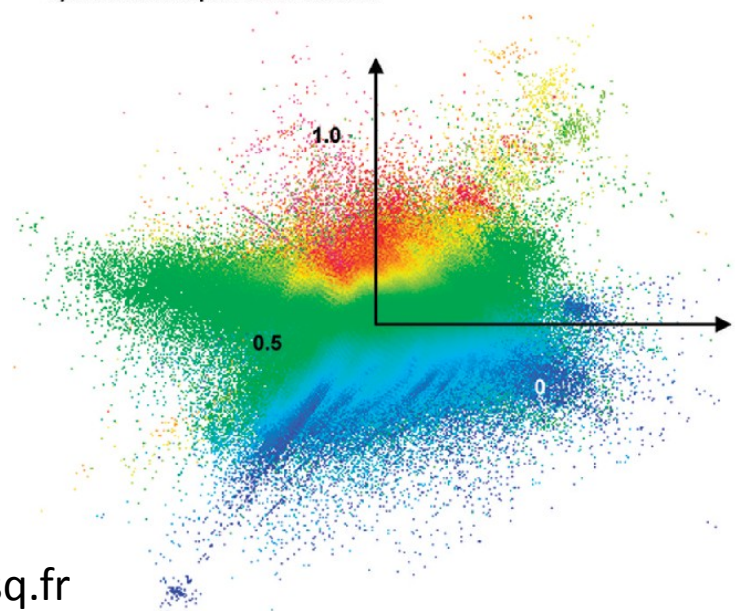
A) Heavy atom count



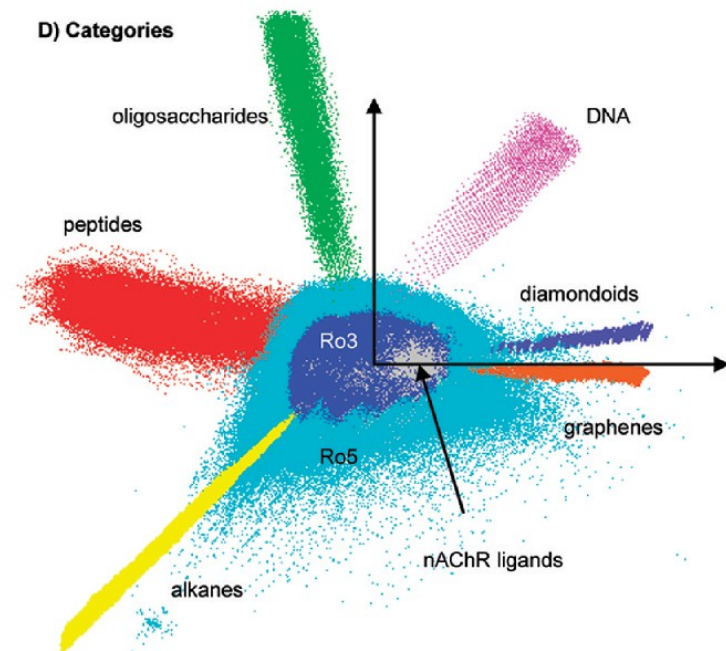
B) Cyclic atom fraction



C) H-bond acceptor atom fraction

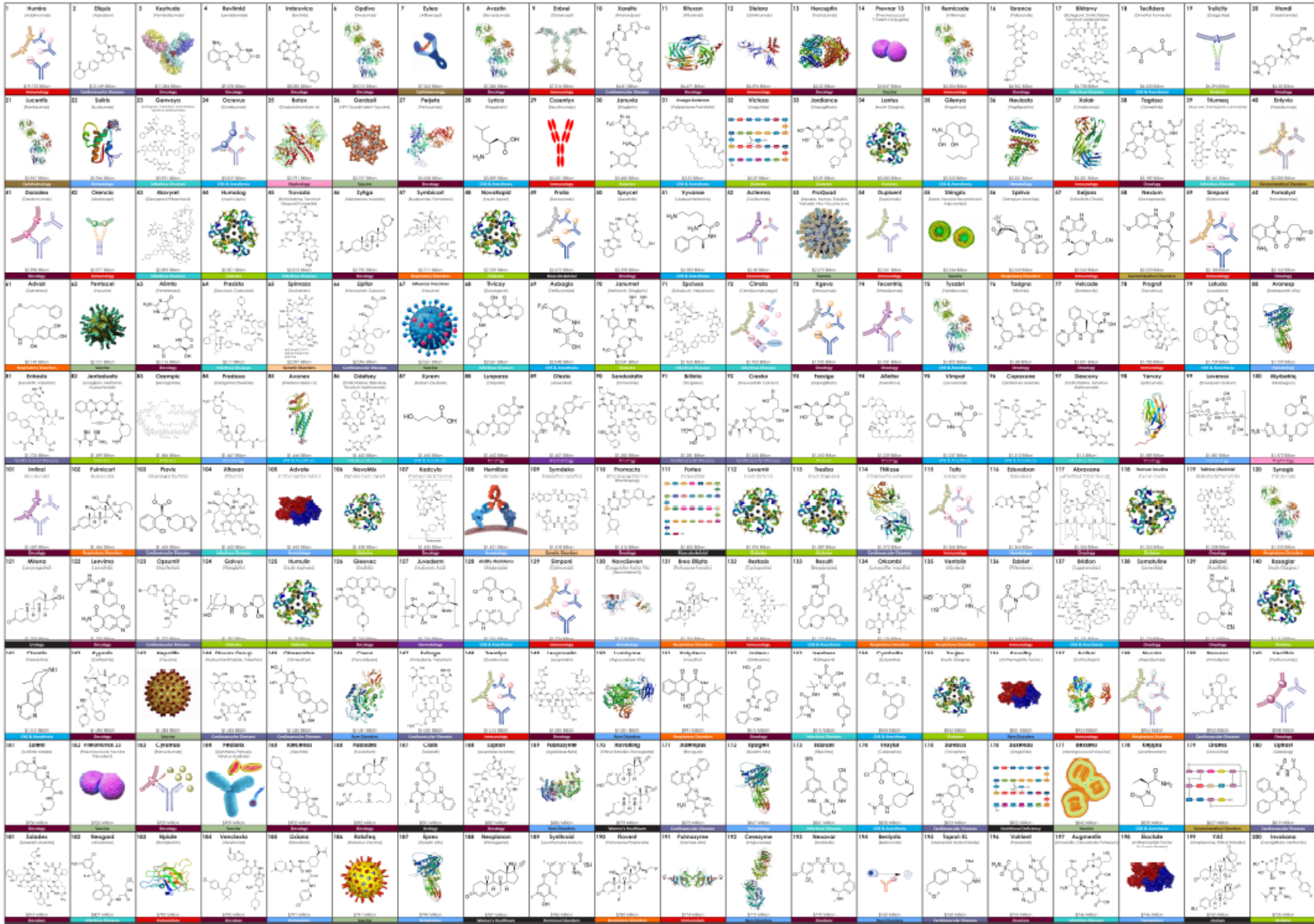


D) Categories

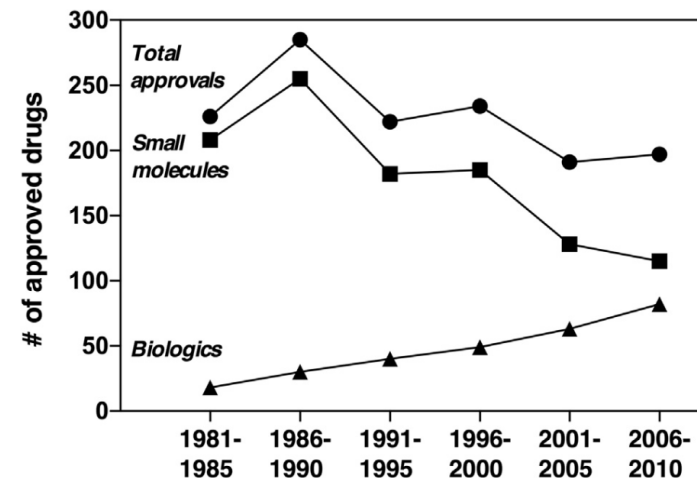


Pharmacie : Diversité Moléculaire ?

Top 200 Brand Name Drugs by Retail Sales in 2019



Médicaments : Diversité Moléculaire ?



Moyenne	Produit naturel (49)	Hémisynthétique (277)	Synthétique Pharmacophore naturel (175)	Synthétique (515)
Masse molaire	626	634	386	343
Nombre N/O	4.1/9.3	4.4/8.3	3.0/4.1	2.4/2.6
Liaisons H D/A	6.4/10.3	5.0/9.2	2.5/5.2	1.3/4.2
Stéréocentres	8.2	6.7	1.9	0.8
Cycles	3.1	3.8	2.8	2.8
Aromatiques	0.8	1.3	1.9	1.9
Log P (OctOH/H ₂ O)	-2.2	-1.3	0.3	1.5

Cheminformatic comparison of approved drugs from natural product versus synthetic origins

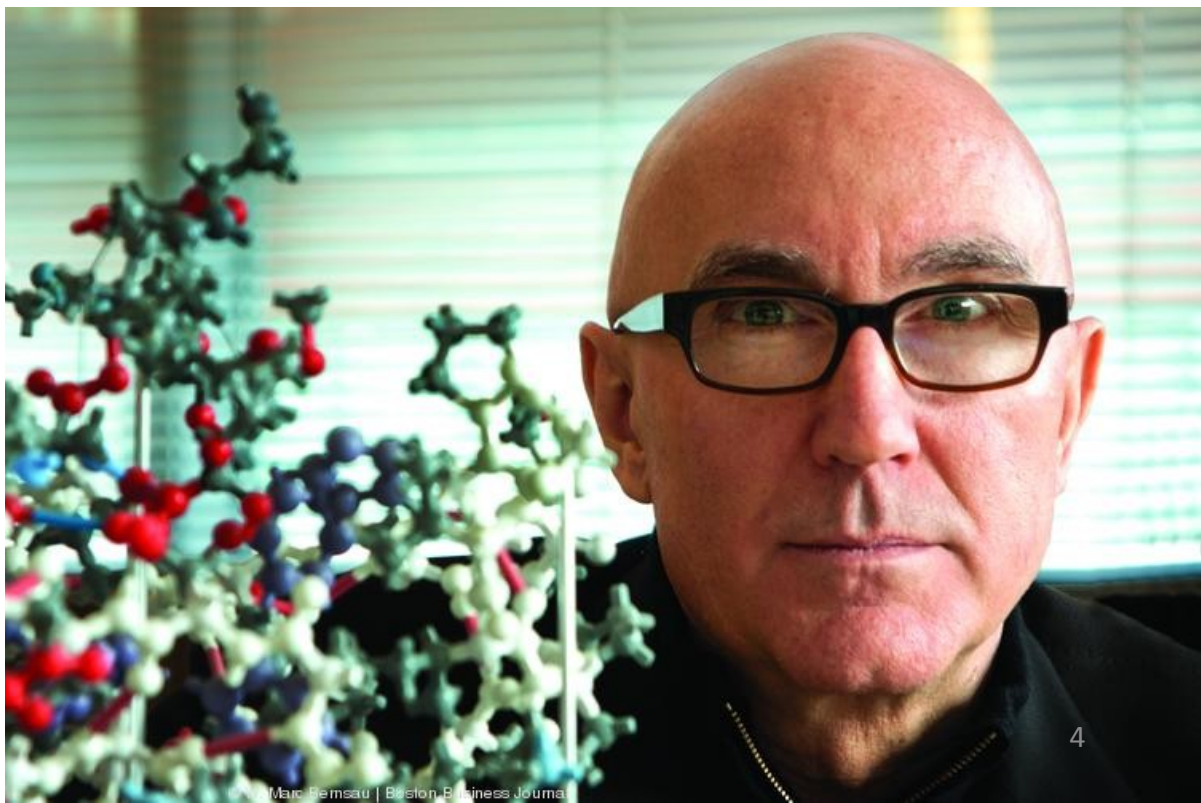
Christopher F. Stratton, David J. Newman, Derek S. Tan

Bioorganic & Medicinal Chemistry Letters 25 (2015) 4802–4807

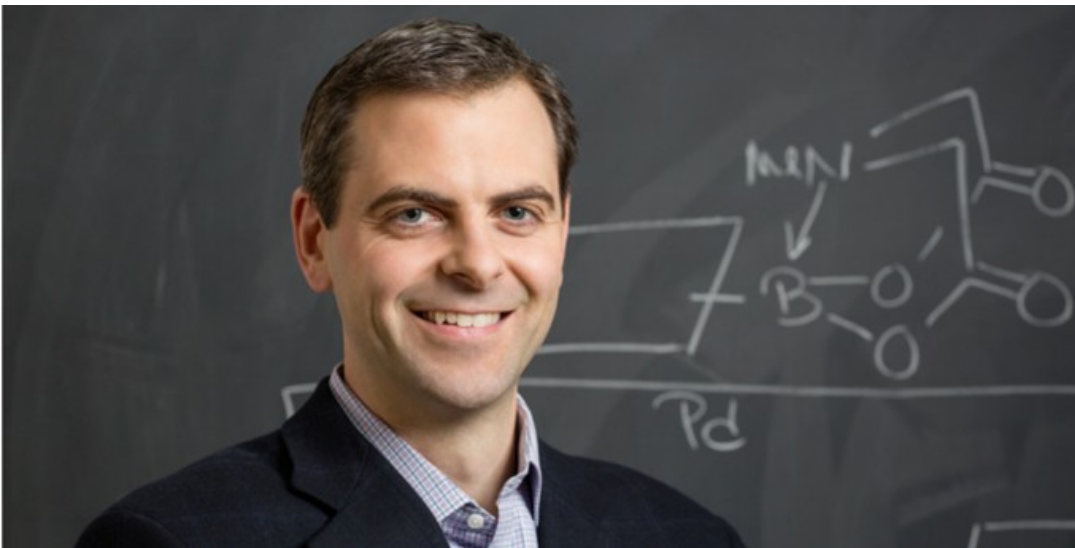
Synthèse pour la Diversité Moléculaire

*Target-oriented and **diversity-oriented organic synthesis** in drug discovery*

Stuart L. Schreiber *Science* **2000**, 287, 1964– 1969



Synthèse pour la Diversité Moléculaire



Martin D. Burke



David R. Spring

THE BASICS OF DIVERSITY-ORIENTED SYNTHESIS

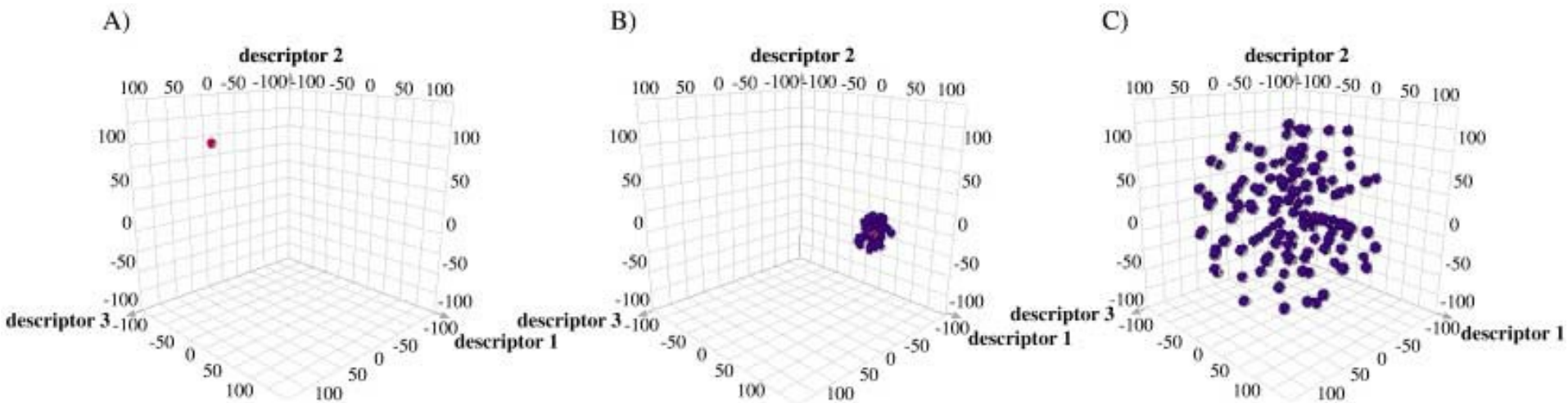
Kieron M. G. O'Connell, Warren R. J. D. Galloway, and David R. Spring

Diversity-Oriented Synthesis: Basics and Applications in Organic Synthesis, Drug Discovery, and Chemical Biology, First Edition. Edited by Andrea Trabocchi.

2013 John Wiley & Sons, Inc. Published 2013 by John Wiley & Sons, Inc.

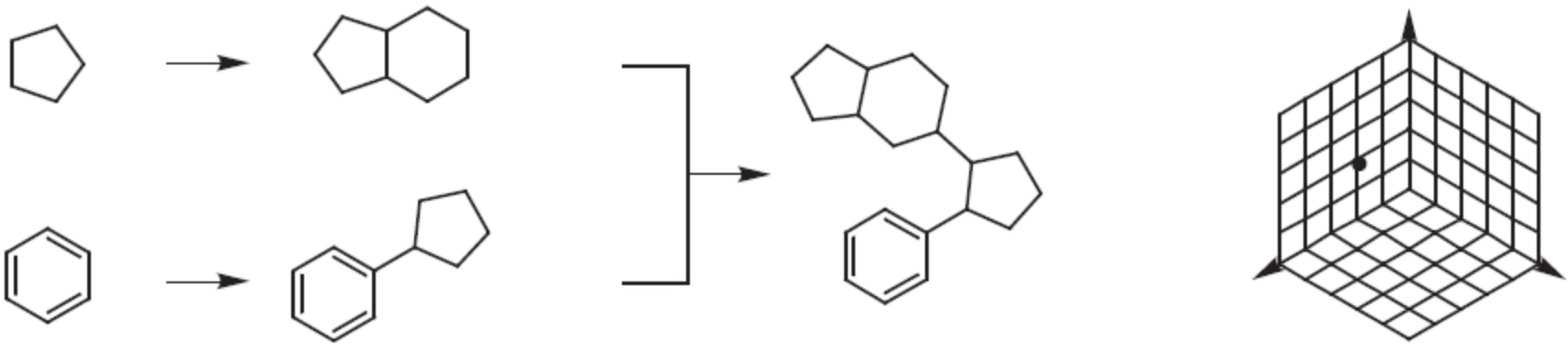
Espace Chimique

Si on considère au maximum **30** atomes C N O S,
on estime à **10^{60}** le nombre de molécules possibles



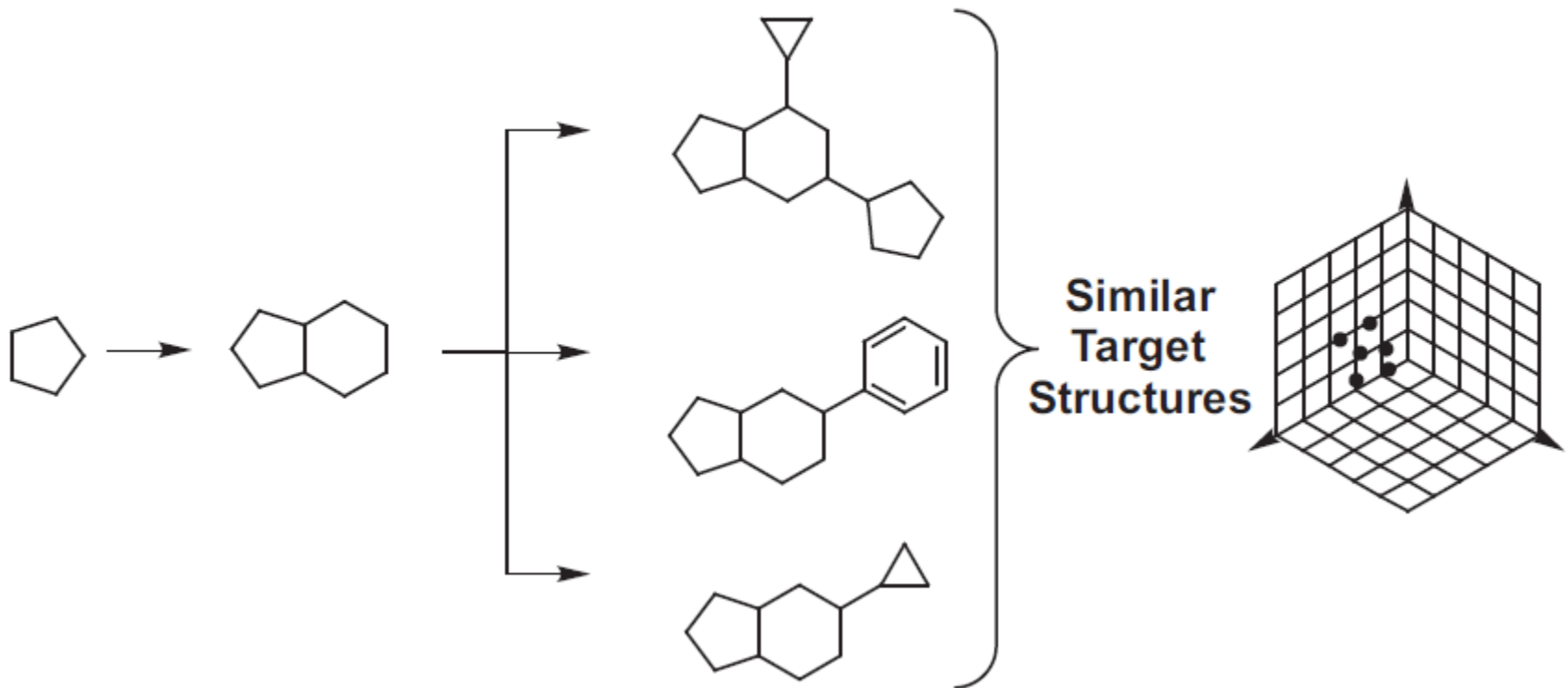
Synthèse pour la Diversité Moléculaire – Synthèse Ciblée

Target-Oriented Synthesis:



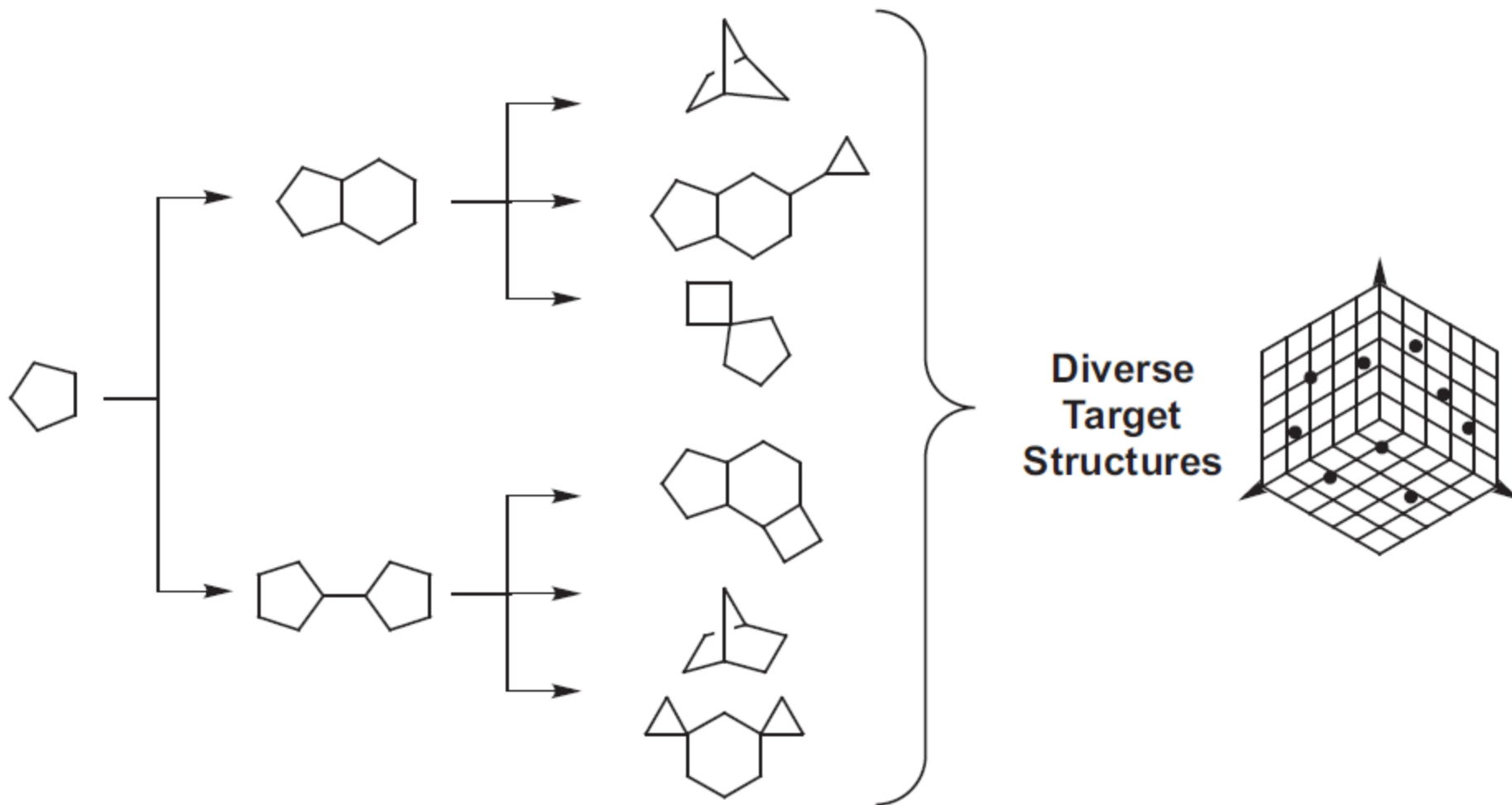
Synthèse pour la Diversité Moléculaire – Synthèse Combinatoire

Focused (Combinatorial) Library Synthesis:



Synthèse pour la Diversité Moléculaire

Diversity-Oriented Synthesis:



Moyens et Buts de la Chimie Médicinale Moderne

Le parcours vers un nouveau médicament

1. Identification de Hits :
 - a. Sources Naturelles
 - Végétales (quinine, cocaïne...)
 - Animales (Hormones)
 - Marines (toxines)
 - Champignons (Pénicilline)
 - Bactéries (gramicidine, peptides)
 - b. Synthèse : Découverte des sulfamides antibiotiques en étudiant des colorants, et des sulfamides hypoglycémiants en cherchant un nouvel antibiotique.

→ **Besoin de cribler le plus grand nombre de candidats possible : DOS**

2. Optimisation : Améliorer les propriétés dans une indication précise
 LD_{50} , K_d , $\log P$, $t_{1/2}$...

→ **Besoin de préparer beaucoup d'analogues proches : Chimie Combinatoire (librairies)**

3. Développement :
 - a. Production de grandes quantités pour les essais cliniques
 - b. Aménagement de la synthèse pour la fabrication industrielle

→ **Besoin d'une synthèse avec le maximum d'efficacité : Synthèse Ciblée**

DOS – Diversity Oriented Synthesis

Moyens

1. Réactif
2. Substrat

Types

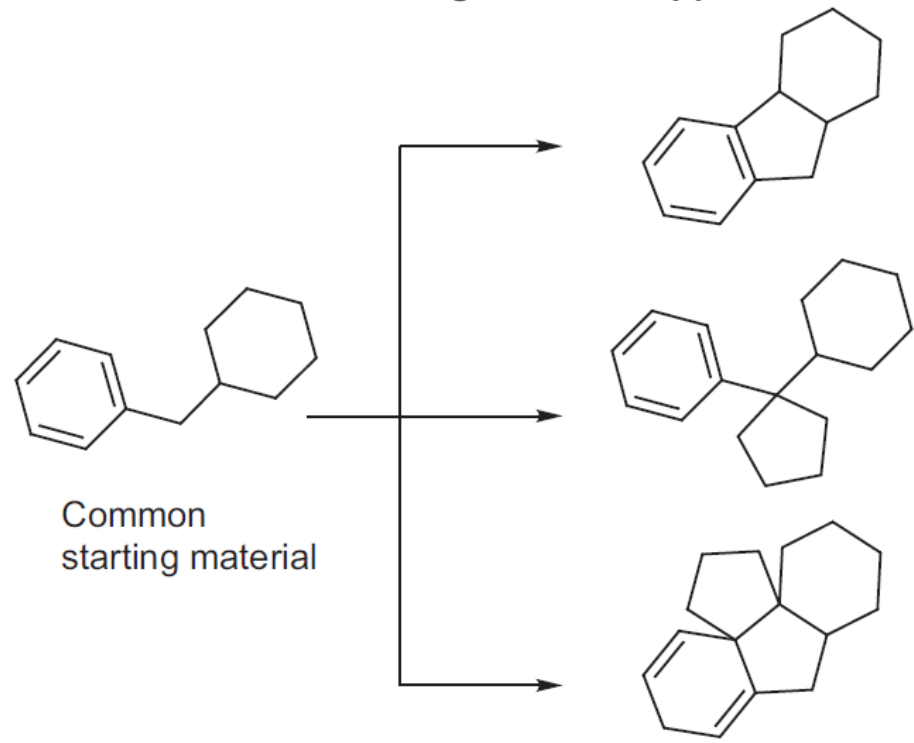
1. Briques
2. Squelette
3. Stéréochimie

Phases

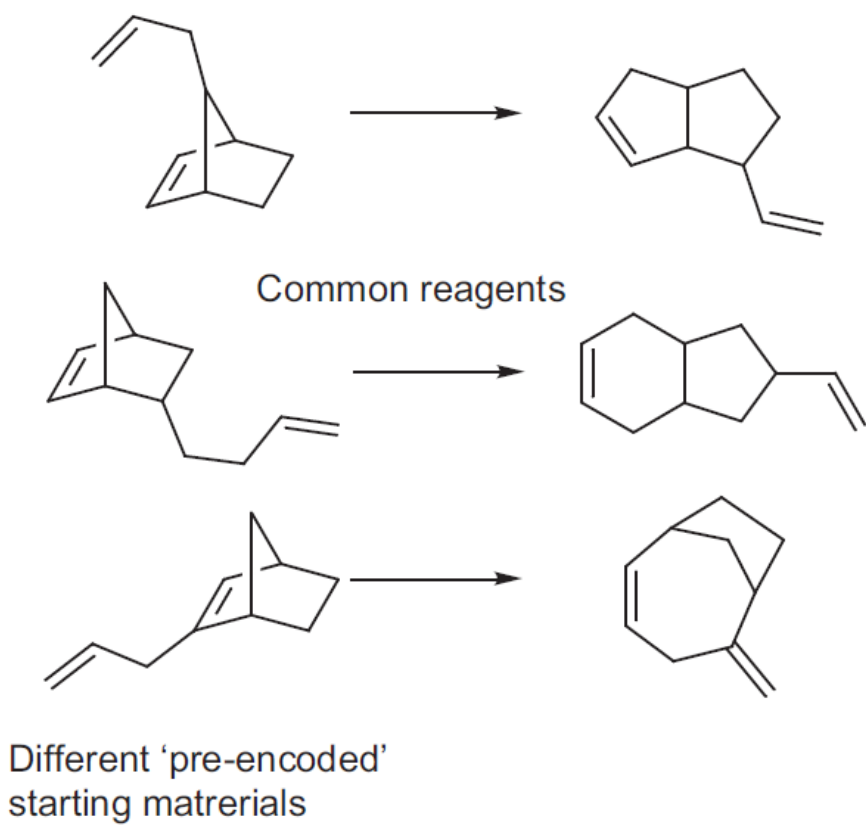
1. Construction
2. Couplage
3. Appariement

Moyens de Diversification : par les Réactifs/Substrats

Reagent-based approach

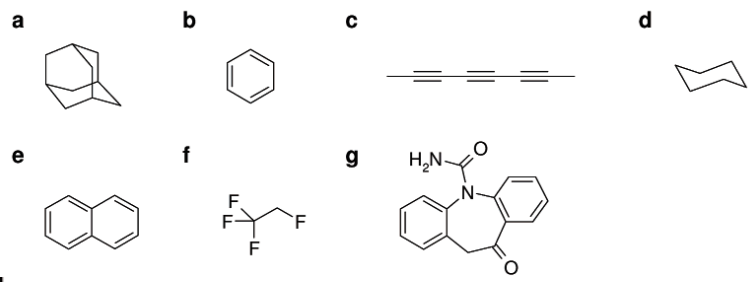
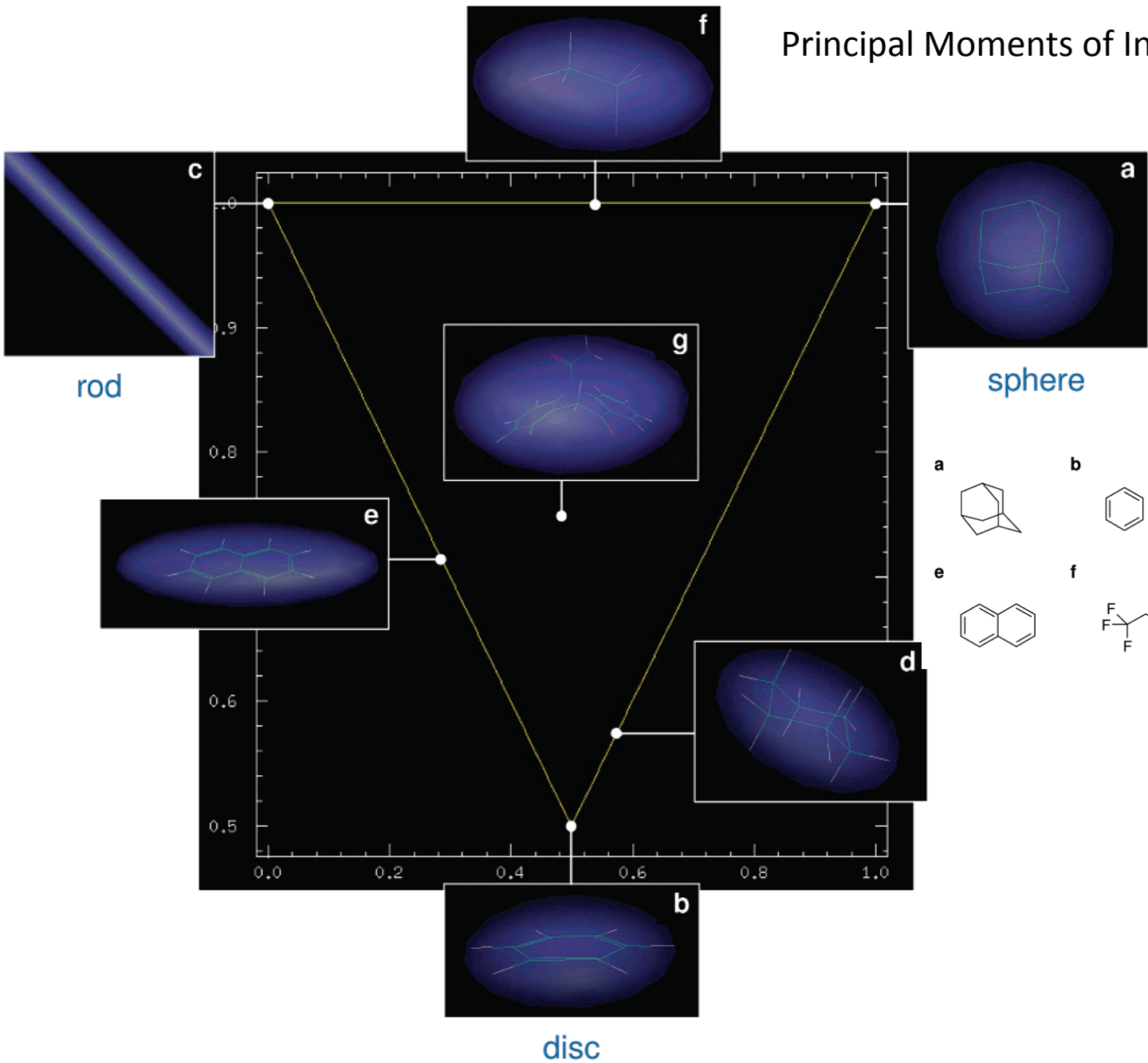


Substrate-based approach



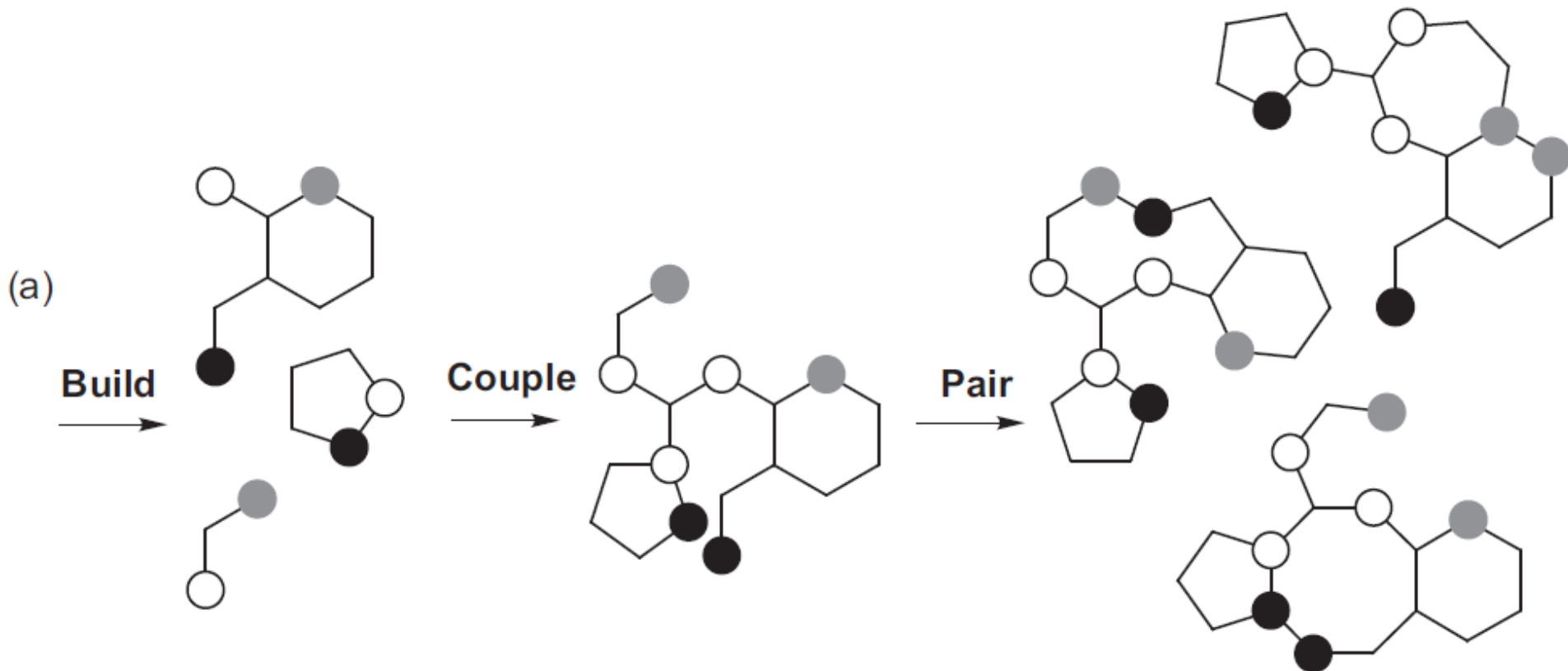
Comment Quantifier la diversité ? Un exemple, le PMI

Principal Moments of Inertia (PMI)



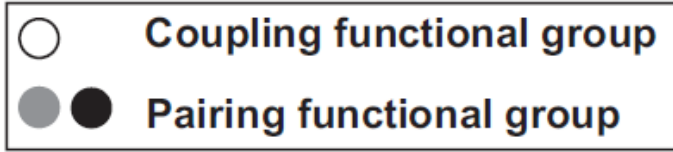
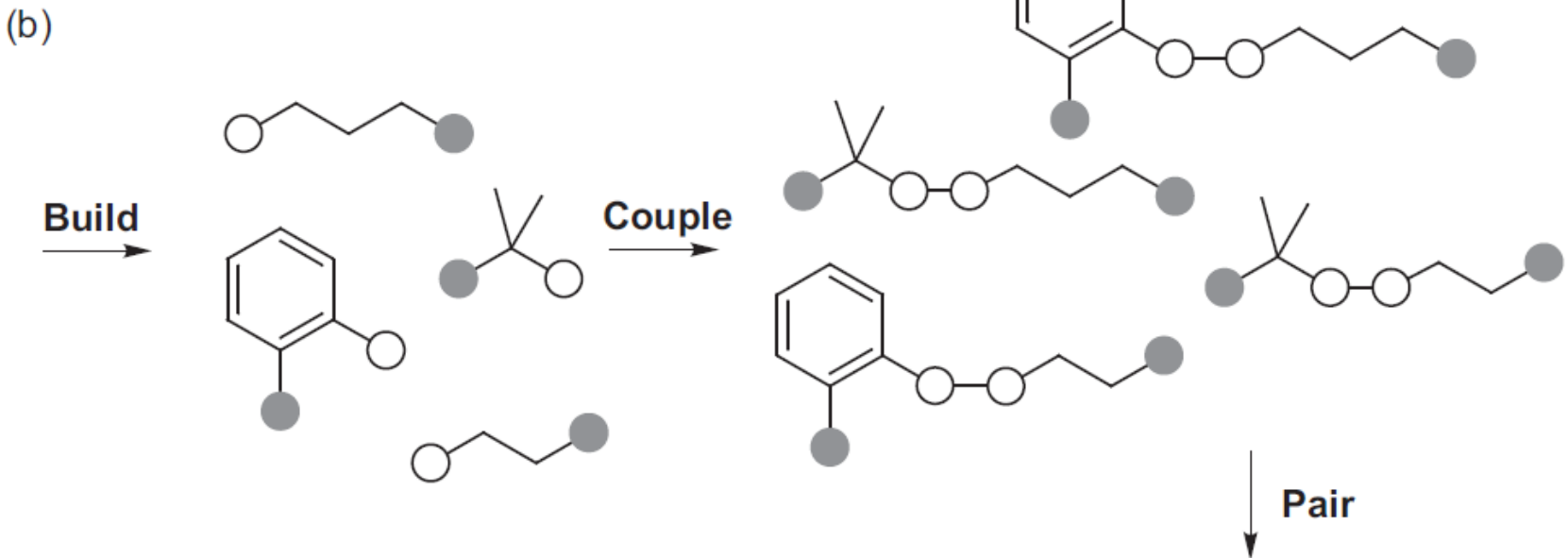
Les Phases de diversification

Construction/Couplage/Appariement – Diversification par le Réactif

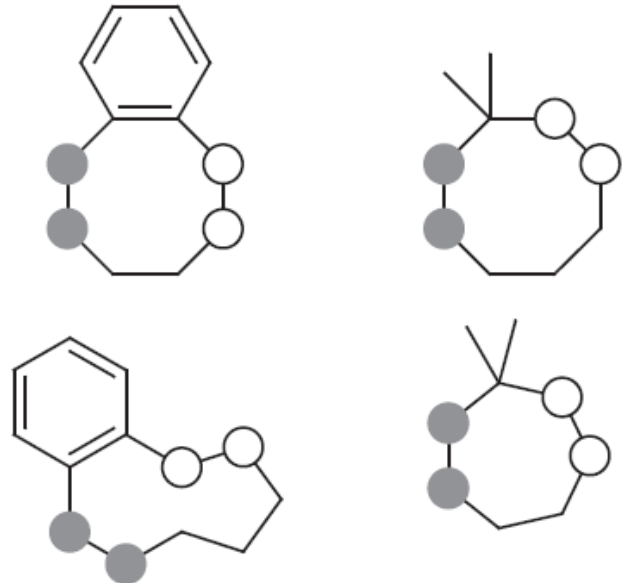


Les Phases de diversification

Construction/Couplage/Appariement – Diversification par le Substrat



Pair



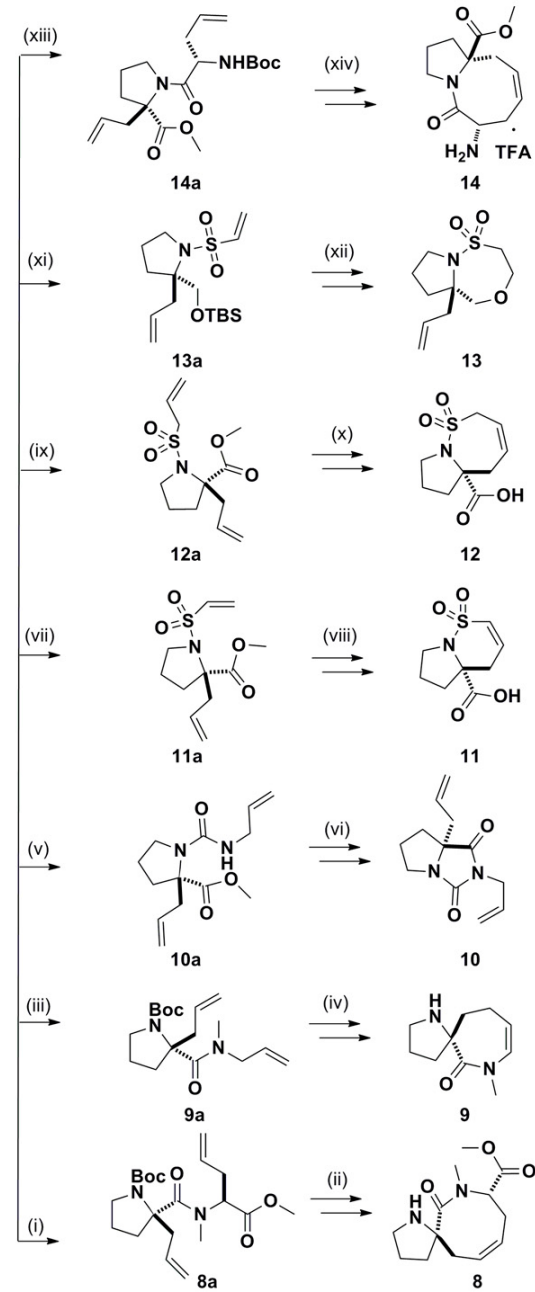
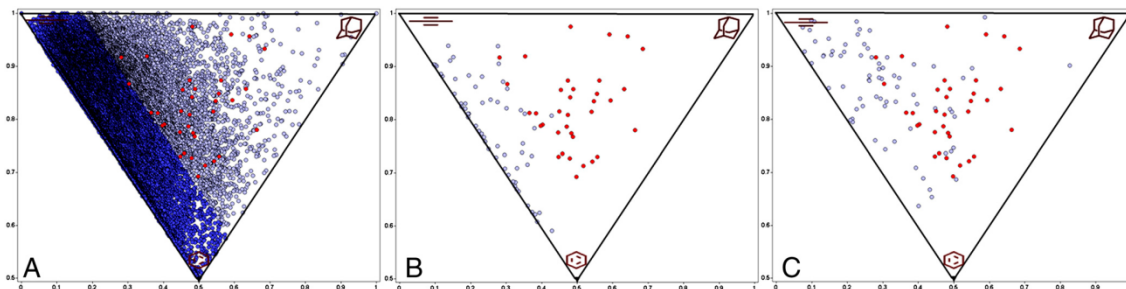
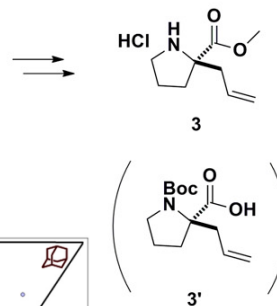
Synthèse pour la Diversité Moléculaire

Build

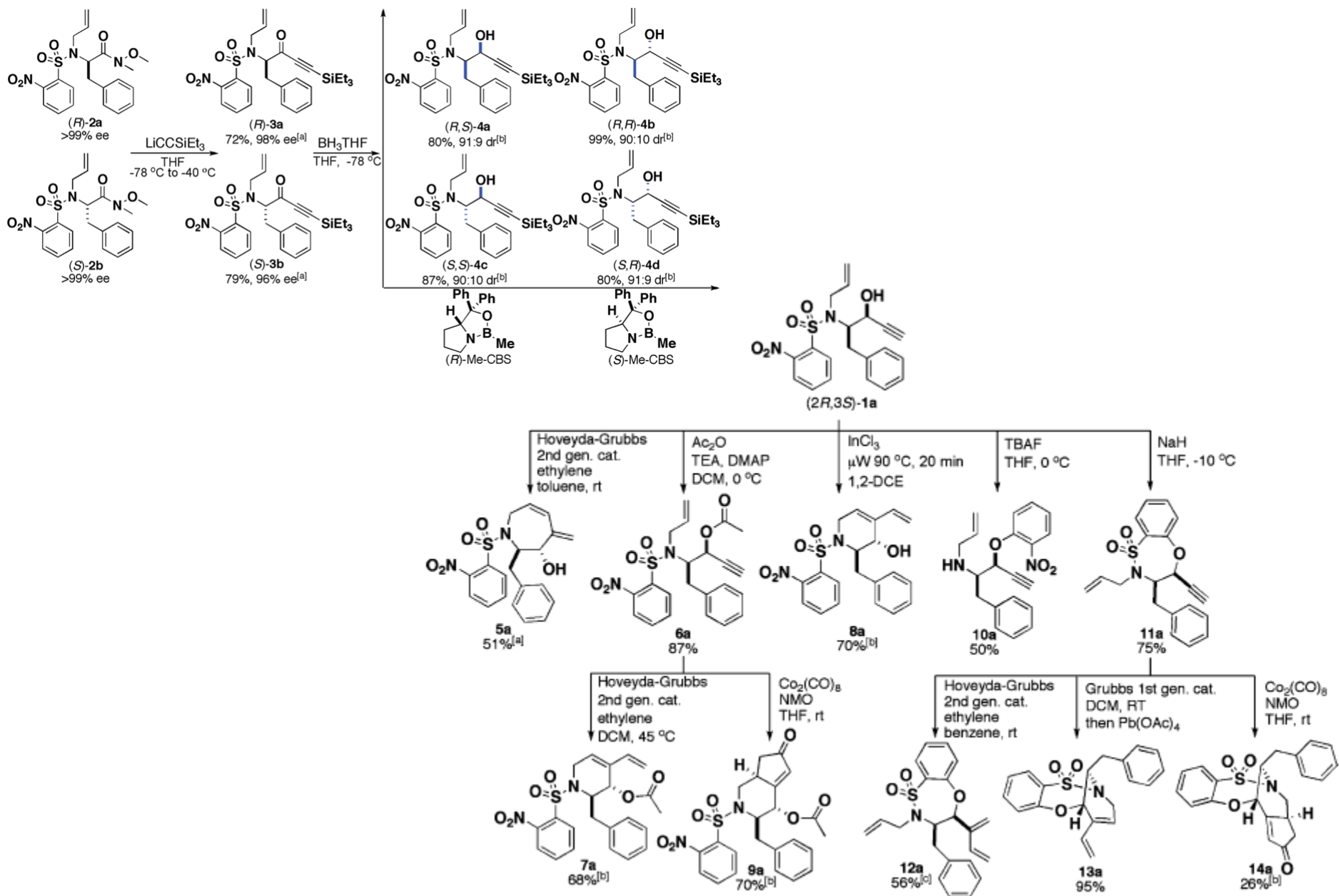
Couple

Pair

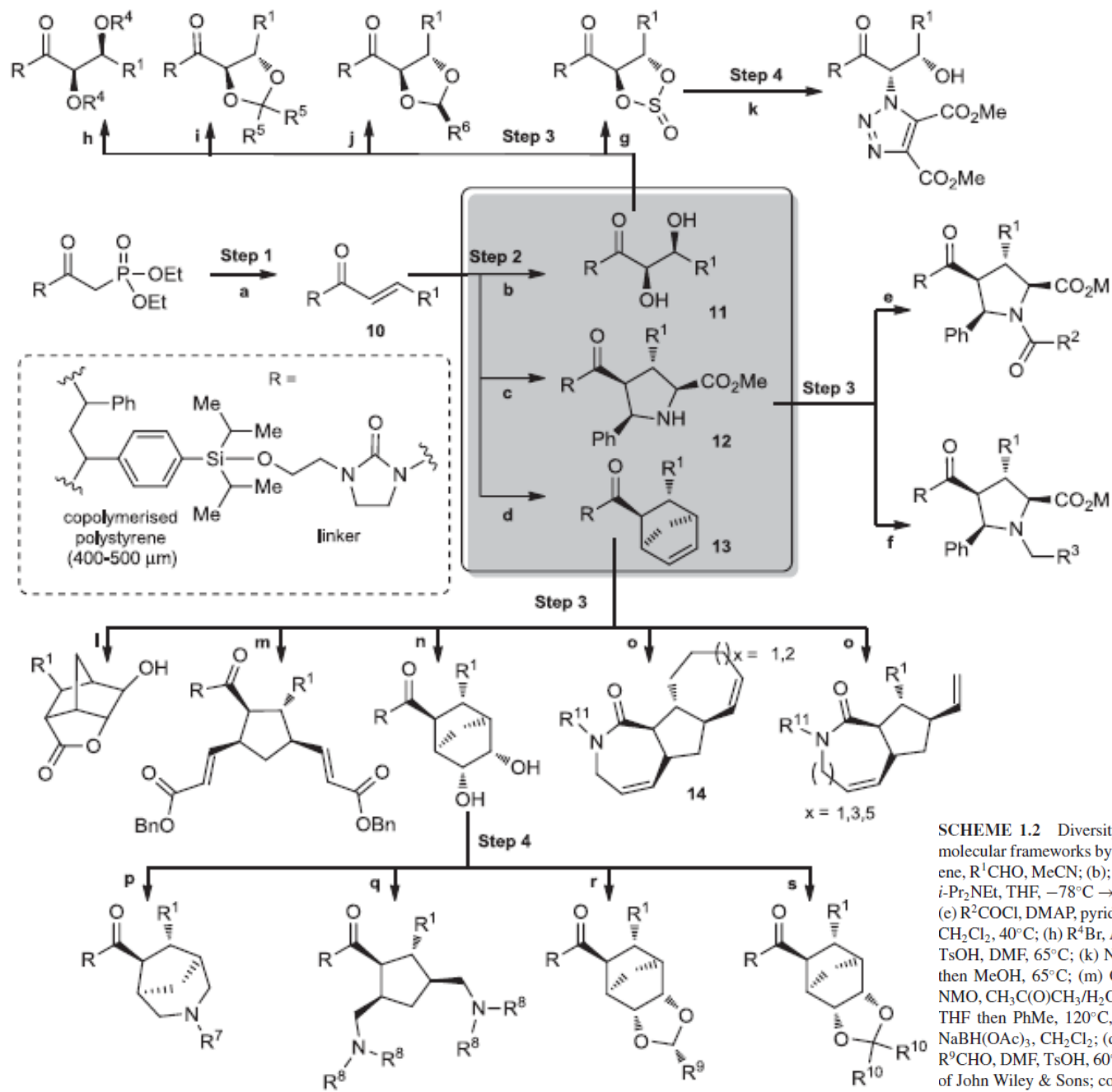
Fig. 3. Application of a B/C/P approach starting from proline 3/3' to give compounds 8–14. From 3', (i) (*S*)-allylglycine methyl ester, 1-ethyl-3-(3-dimethylaminopropyl) carbodiimide (EDCI), Oxyma, Et₃N, CH₂Cl₂, 89%; NaH, MeI, DMF, 89%; (ii) Grubbs II, CH₂Cl₂, reflux, 34%; TFA; (iii) allylamine, EDCI, Oxyma, Et₃N, CH₂Cl₂, 91%; NaH, MeI, dimethylformamide (DMF), 72%; (iv) Grubbs II, toluene, 60%; TFA. From 3, (v) allyl isocyanate, Et₃N, CH₂Cl₂, 70%; (vi) NaH, DMF, 93%; (vii) 2-chlorosulfonyl chloride, Et₃N, CH₂Cl₂, 62%; (viii) Grubbs II, CH₂Cl₂, reflux, 92%; LiOH, THF, 53%; (ix) prop-2-ene-1-sulfonyl chloride, Et₃N, CH₂Cl₂, 44%; (x) Grubbs II, CH₂Cl₂, reflux, 96%; LiOH, THF, 71%; (xi) LiAlH₄, THF; *tert*-butyldimethylsilylchloride, Et₃N, CH₂Cl₂ (24% over two steps); 2-chlorosulfonyl chloride, Et₃N, CH₂Cl₂, 33%; (xii) tetrabutylammonium fluoride, THF, 45%; (xiii) (*S*)-*N*-Boc-allylglycine, EDCI, Oxyma, Et₃N, CH₂Cl₂, 48%; (xiv) Grubbs II, CH₂Cl₂, reflux, 41%; TFA.



Synthèse pour la Diversité Moléculaire



Synthèse pour la Diversité Moléculaire



SCHEME 1.2 Diversity-oriented synthesis of 242 compounds based around 18 discrete molecular frameworks by Thomas et al. Conditions: (a) LiBr, 1,8-diazabicyclo[5.4.0]undec-7-ene, $R^1\text{CHO}$, MeCN; (b) AD-mix, (DHQD)PHAL, THF/ H_2O (1:1); (c) (*R*)-QUINAP, AgOAc, *i*-Pr₂NEt, THF, $-78^\circ\text{C} \rightarrow 25^\circ\text{C}$; (d) chiral bis(oxazoline), Cu(OTf)₂, 3 Å MS, CH_2Cl_2 , C_5H_8 ; (e) $R^2\text{COCl}$, DMAP, pyridine, CH_2Cl_2 ; (f) $R^3\text{CHO}$, BH₃, pyridine, MeOH; (g) SOCl₂, pyridine, CH_2Cl_2 , 40°C ; (h) $R^4\text{Br}$, Ag₂O, CH_2Cl_2 , 40°C ; (i) $R^5\text{C}(\text{O})\text{R}^5$, TsOH, DMF, 65°C ; (j) $R^6\text{CHO}$, TsOH, DMF, 65°C ; (k) NaN₃, DMF, 100°C then DMAD, PhMe, 65°C ; (l) *m*CPBA, CH_2Cl_2 then MeOH, 65°C ; (m) $\text{CH}_2=\text{CHCO}_2\text{Bn}$, PhMe, 120°C , Grubbs II, $\text{CH}_2=\text{CH}_2$; (n) OsO₄, NMO, $\text{CH}_3\text{C}(\text{O})\text{CH}_3/\text{H}_2\text{O}$ (10:1); (o) RNH₂, Me₂AlCl, PhMe, 120°C , then NaH, $R^{11}\text{X}$, DMF, THF then PhMe, 120°C , Grubbs II, $\text{CH}_2=\text{CH}_2$; (p) NaIO₄, THF/ H_2O (1:1) then $R^7\text{NH}_2$, NaBH(OAc)₃, CH_2Cl_2 ; (q) NaIO₄, THF/ H_2O (1:1) then $R^8\text{NHR}^8$, NaBH(OAc)₃, CH_2Cl_2 ; (r) $R^9\text{CHO}$, DMF, TsOH, 60°C ; (s) $R^{10}\text{C}(\text{O})\text{R}^{10}$, DMF, TsOH, 60°C . (From [47], with permission of John Wiley & Sons; copyright (© 2008 John Wiley & Sons.)

Synthèse pour la Diversité Moléculaire

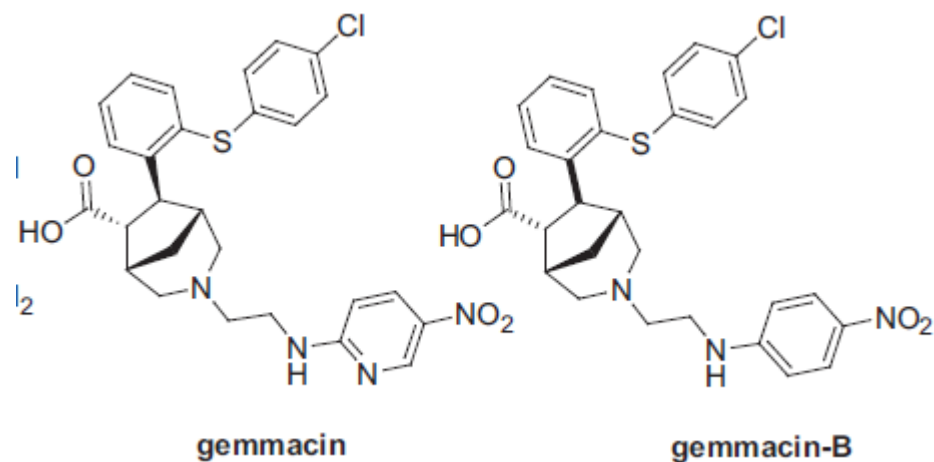


TABLE 1.1 The Comparable Effects of Emmacin, the Enantiomers of Gemmacin, Gemmacin B, Erythromycin, and Oxacillin on Three Strains of *Staphylococcus aureus*

	MIC ₅₀ (μg/mL)		
	MSSA	EMRSA-15	EMRSA-16
Emmacin	2	9	9
(±)-Gemmacin B	Not determined	8	8
(±)-Gemmacin	2	16	32
Erythromycin	0.5	>64	>64
Oxacillin	0.5	>32	>32

Chimie Combinatoire

TANULMÁNY, GYÓGYÁSZATIILAG HASZNOSÍTHATÓ PEPTIDEK SZISZTEMATIKUS FELKUTATÁSÁNAK LEHETŐSÉGEIRŐL

Készítette Dr. Furka Árpád egyetemi tanár, Budapest, 1982 május 29.

Többek között az eddig felfedezett peptidhormonok példája is tanúsítja, hogy a hosszabb-rövidebb peptidok az élő szervezetben számos fontos funkciót láthatnak el. Feltehető, hogy ezeknek a biológiailag aktív, és potenciális terápiás hatással bíró peptidoknak eddig csak egy kis töredékét ismerjük. Ez indokolja, hogy ezen a területen világszerte és hazánkban is, intenzív kutatómunka folyik.

Az újfajta biológiai hatással rendelkező peptidok felkutatására kétféle elvi lehetőség kínálkozik:

1. A peptidok izolálása az élő szervezetből, előzetesen felismert biológiai hatásuk alapján.
2. A peptidok szintetikus előállítás és biológiai hatásaik utólagos felderítése.

Eddig az izolációs módszer bizonyult járhatóbbnak annak ellenére, hogy ez is igen munkaigényes. Ennek az a magyarázata, hogy az adott tagozatú peptidok lehetséges száma olyan gyorsan nő a tagozattal, hogy már a tetrapeptidok teljes számban /160 ezer/ töbrténé előállítás is a gyakorlatban megoldhatatlan feladatnak tűnik. Ha a 20 főle fehérjealkotó aminosavat vesszük alapul, a lehetséges peptidok számát / N_n / a következő egyenlet fejezi ki a tagozatn /n/ függvényében:

$$N_n = 20^n$$

Ha a peptidokat lépésenként és egymástól függetlenül állítjuk elő, az n tagú peptidok esetében az ehhez szük-

A módszer kiterjesztése más vegyülettípusokra

As előzőekben kifejtett módszer nemcsak aktív peptidok szintetikus felkutatására alkalmas. Ugyanaz az elv minden más szekvenciális felépítésű vegyülettípusra érvényes, vagyis amikor a vegyülettípusos tartozó vegyületek az egymáshoz sorban kapcsolódó építőelemek működésében és sorrendjében különböznek egymástól. Ezek között lehetnek természetes vegyületek mint például az oligoszacharidok, vagy oligonukleotidok, de elképzelhető mesterséges vegyületek is. Ez utóbbiak esetében szekvenciális kopolimer típusú vegyületek jöhetnek szóba, vagy szekvenciális polikondenzátumok.



Furka Árpád
Dr. Furka Árpád
egyetemi tanár

36237/1982. Úgyeszm

Tanúsítom, hogy ezt a 14. szasz Tízennygy oldalból álló Szaszszűsött okiratot dr. Furka Árpád egyetemi tanár Budapest VII., Oseogery uton 23. III.2.szám alatti lakos előttem sajtóközölleg írta alá. -----
Budapest, 1982. Ezerkilencszáznyolcvankettő évi június hó 15.
/Tízennyötödik/ napján. -----



Concept introduit en mai 1982



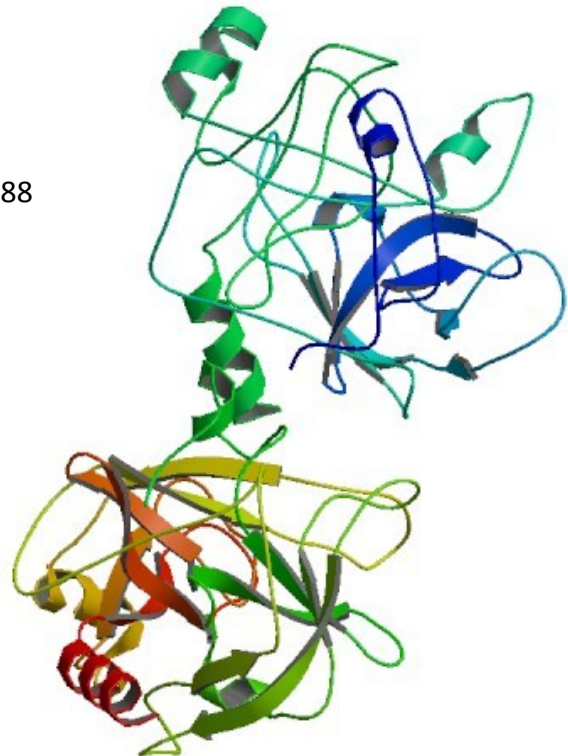
Árpád Furka

Chymotrypsinogène : 245 AA

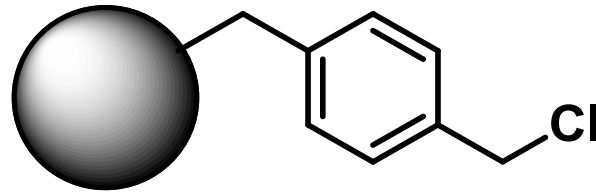
$20^{245} = 5.65 \times 10^{318}$ séquences, nb de particules dans l'univers : $\sim 10^{88}$

Table 1.1. The number of possible peptide sequences.

Number of residues	Name	Number of sequences
2	Dipeptides	400
3	Tripeptides	8,000
4	Tetrapeptides	160,000
5	Pentapeptides	3,200,000
6	Hexapeptides	64,000,000
7	Heptapeptides	1,280,000,000



Synthèse sur Support Solide



Bruce Merrifield , Nobel 1984

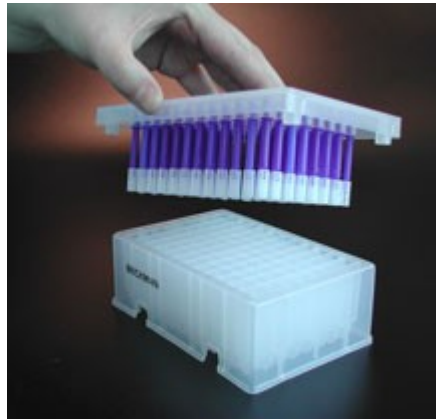
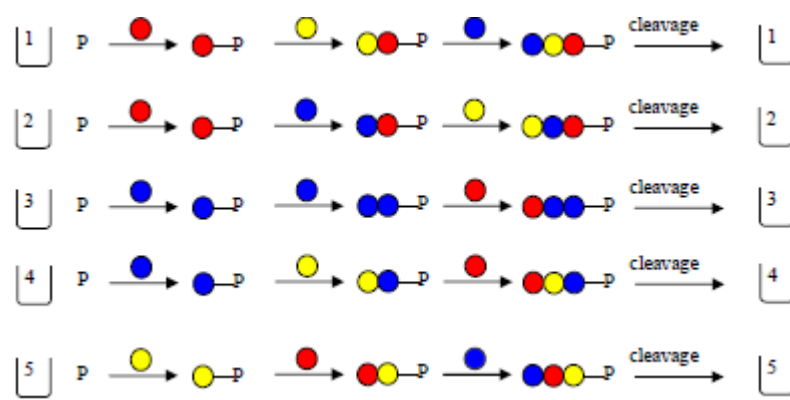
1963, synthèse sur des billes de polystyrène fonctionnalisées



John Stewart (left) and Bruce Merrifield (right) with the first automatic peptide synthesizer



Synthèse Parallèle



Méthode d'Houghten « tea bag synthesis »

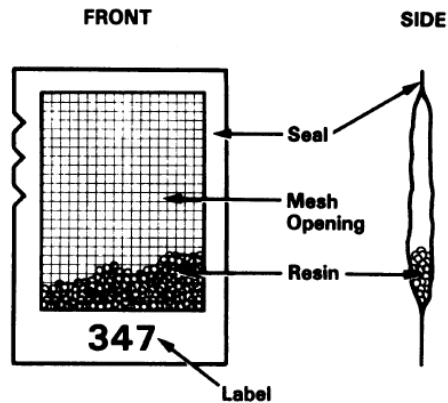


FIG. 1. Illustration of a mesh packet containing resin.



Richard A. Houghten

“By using these packets, 260 individual peptides were synthesized with a total of >3380 coupling steps in a period of 4 weeks. Each peptide was obtained in 10-to 20-mg quantities “

Proc. Natl. Acad. Sci. USA
Vol. 82, pp. 5131–5135, August 1985
Immunology

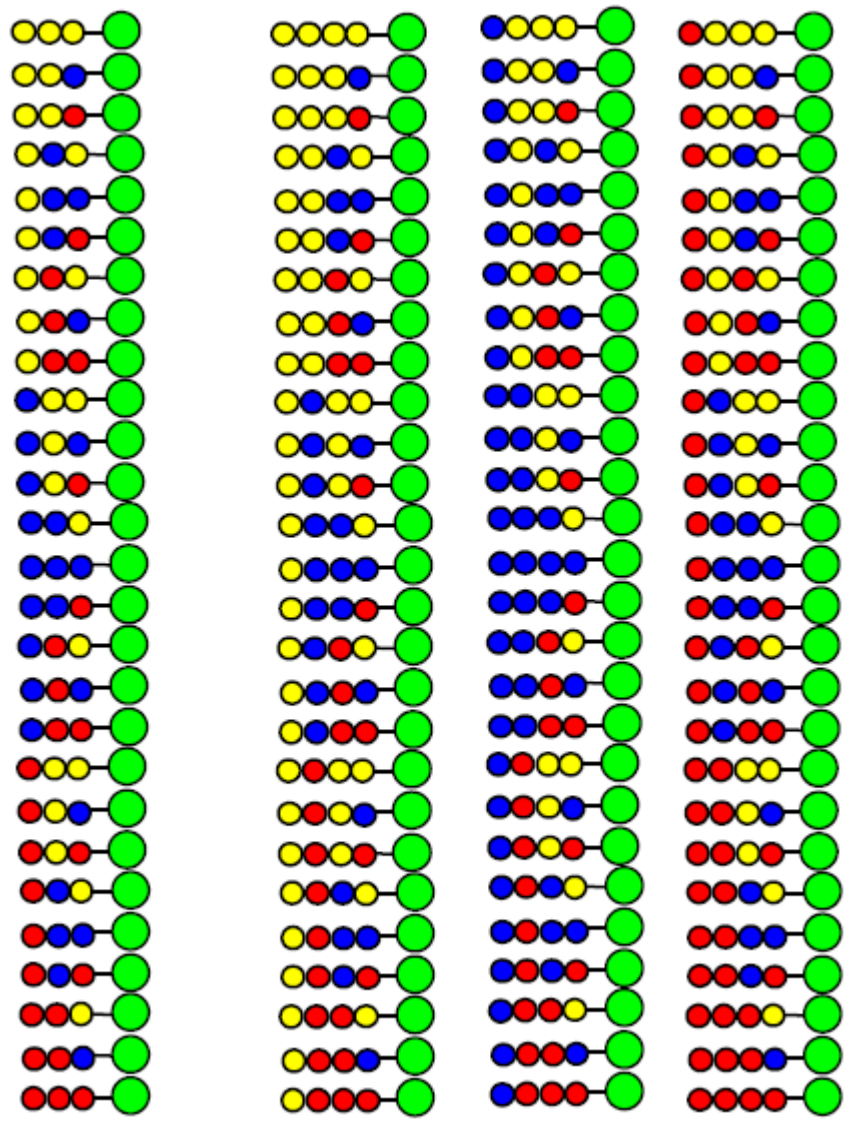
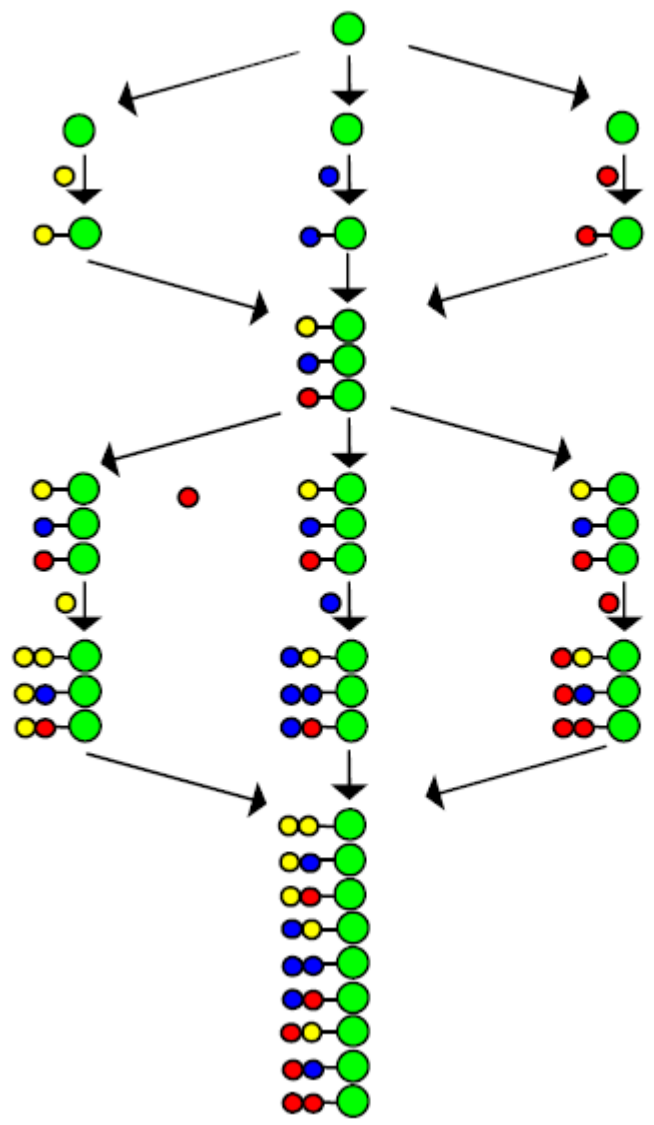
General method for the rapid solid-phase synthesis of large numbers of peptides: Specificity of antigen–antibody interaction at the level of individual amino acids

(simultaneous multiple-peptide synthesis)

RICHARD A. HOUGHTEN

Department of Molecular Biology, Scripps Clinic and Research Foundation, 10666 North Torrey Pines Road, La Jolla, CA 92037

Générer de la Diversité – Mix & Split

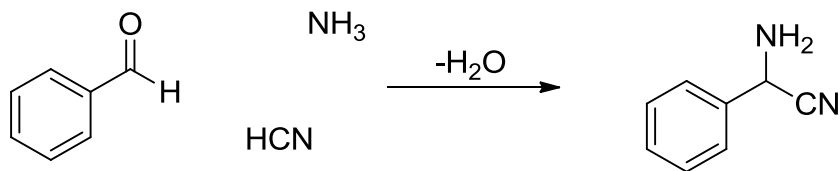


1. Á. Furka, F. Sebestyén, M. Asgedom, G. Dibó, In *Highlights of Modern Biochemistry*, Proceedings of the 14th International Congress of Biochemistry, VSP. Utrecht, The Netherlands, **1988**, Vol. 5, p 47.
2. Á. Furka, F. Sebestyén, M. Asgedom, G. Dibó *Proceedings of the 10th International Symposium of Medicinal Chemistry*, Budapest, Hungary, **1988**, p 288, Abstract P-168.
3. Á. Furka, F. Sebestyén, M. Asgedom, G. Dibó *Int. J. Peptide Protein Res.* **1991**, 37, 487.

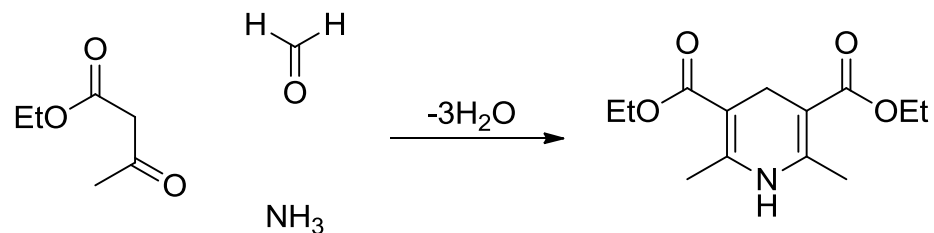
Réactions Multicomposants – Définition, Historique

"Multicomponent reactions (MCRs) are generally defined as reactions where more than two starting materials react to form a product, incorporating essentially all of the atoms of the educts"

Alexander Dömling *Chem. Rev.* **2006**, *106*, 17-89



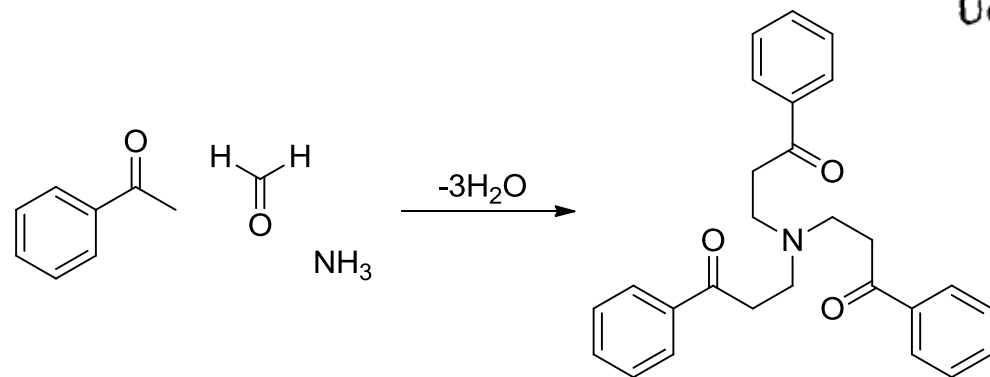
A. Strecker, *Liebigs Ann. Chem.* **1850**, *75*, 27.



A. Hantzsch, *Justus Liebigs Ann. Chem.* **1882**, *215*, 1.

Ueber die Synthese pyridinartiger Verbindungen aus Acetessigäther und Aldehydammoniak;

von Dr. *Arthur Hantzsch**).



343. H. Schäfer und B. Tollens: Ueber die Bildung von Basen aus Acetophenon, Formaldehyd und Chlorammonium¹⁾.

[Mitgetheilt von B. Tollens.]

(Eingegangen am 7. Juni 1906.)

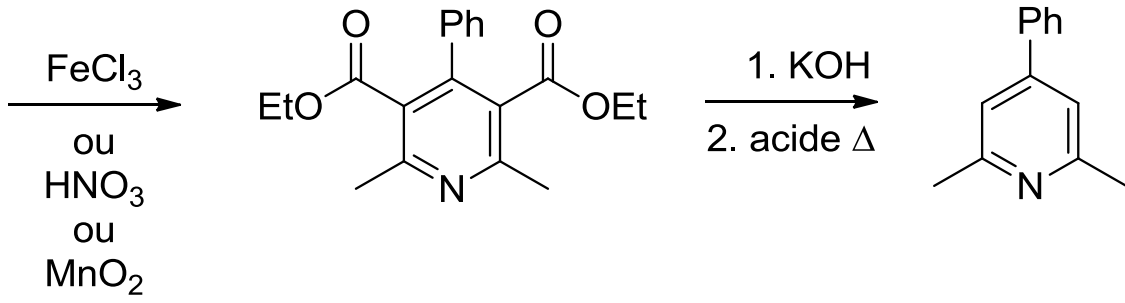
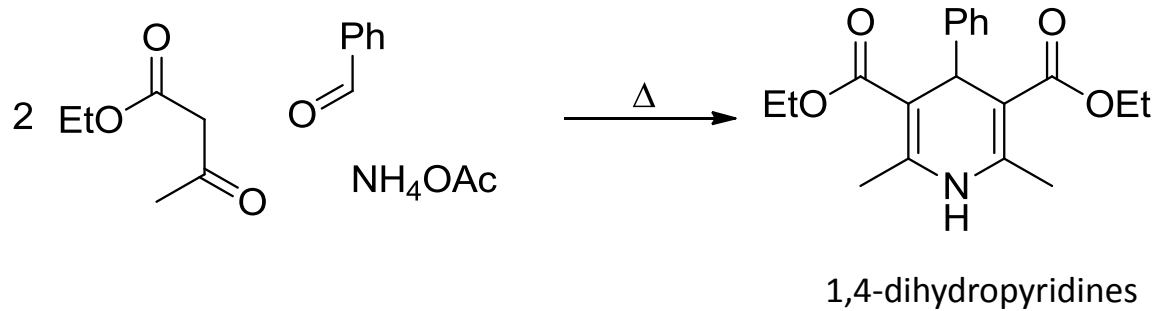
Réactions Multicomposants – Carbonyle/Imine

Name of the reaction	Year of discovery	Example ^[a]
Strecker synthesis ^[10]	(1838) 1850	<chem>O=Cc1ccc2ccccc2c1.C#N>>NC(C#N)c1ccc2ccccc2c1</chem>
Hantzsch dihydropyridine synthesis ^[1-5]	1882	<chem>CC(=O)CC(=O)OCC.CN.C=Oc1ccc(C(F)(F)F)cc1>>CCOC(=O)C1=C(C)NC(=O)C1C(=O)OCCc2ccc(C(F)(F)F)cc2</chem>
Radziszewski imidazole synthesis ^[21]	1882	<chem>CC(=O)C(C)=O.CO.CN>>CC1=C(C)N=CN1</chem>
Hantzsch pyrrole synthesis ^[22]	1890	<chem>CCOC(=O)C=O.CNc1ccccc1.CCOC(=O)C(Br)C(=O)C>>CCOC(=O)C1=C(C)N(c2ccccc2)C1C(=O)OCC</chem>
Biginelli reaction ^[23, 24]	1891	<chem>NC(=O)N=C(N)N.CC(=O)CC(=O)OCC.O=Cc1ccc2ccccc2c1>>O=C1NC(=O)C2=C(C1)Nc3ccc4ccccc4c32</chem>
Mannich reaction ^[25]	1912	<chem>CC(=O)CC(C)C.CO.CN>>CC(=O)CC(C)CN(C)CC(C)C(=O)C</chem>
Bucherer–Bergs hydantoin synthesis ^[20, 26]	1941	<chem>Cc1nc2c(=O)[nH]c(=O)n2c1C(=O)C(=O)N + NH3 + CO2 + HCN >> Cc1nc2c(=O)[nH]c(=O)n2c1C(=O)N(C)C(=O)N</chem>

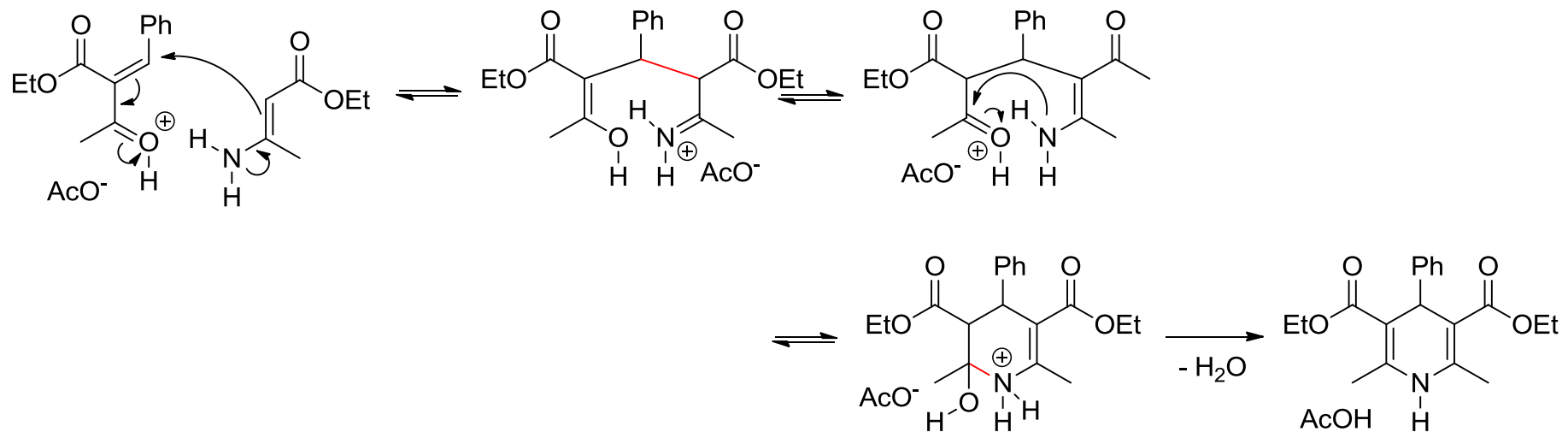
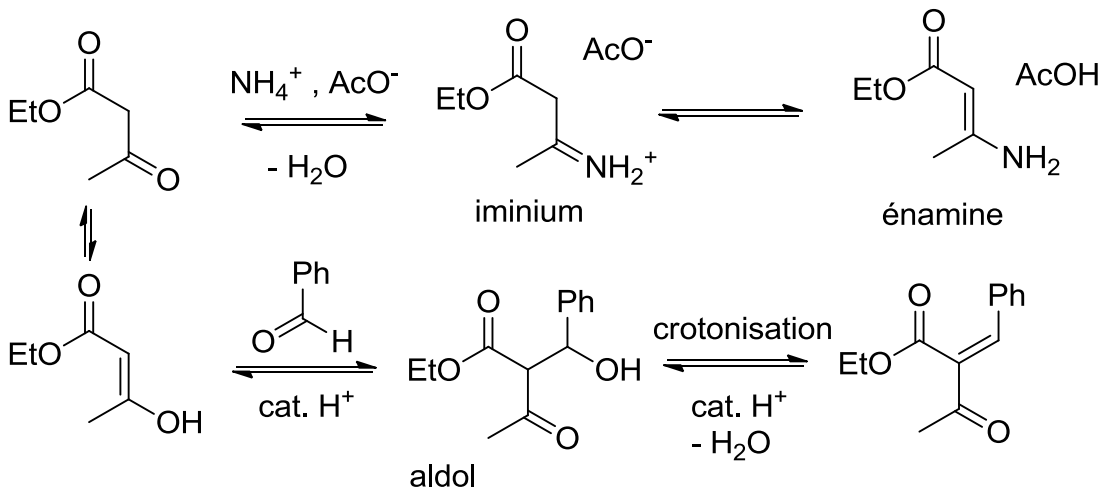
Réactions Multicomposants – Hantzsch (1882)



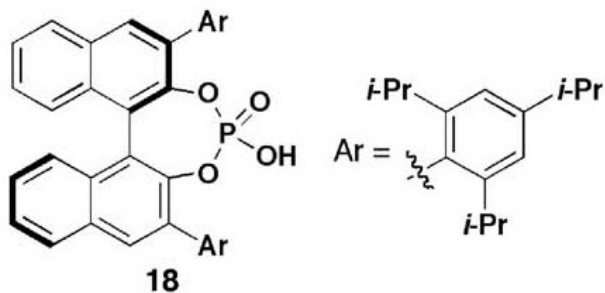
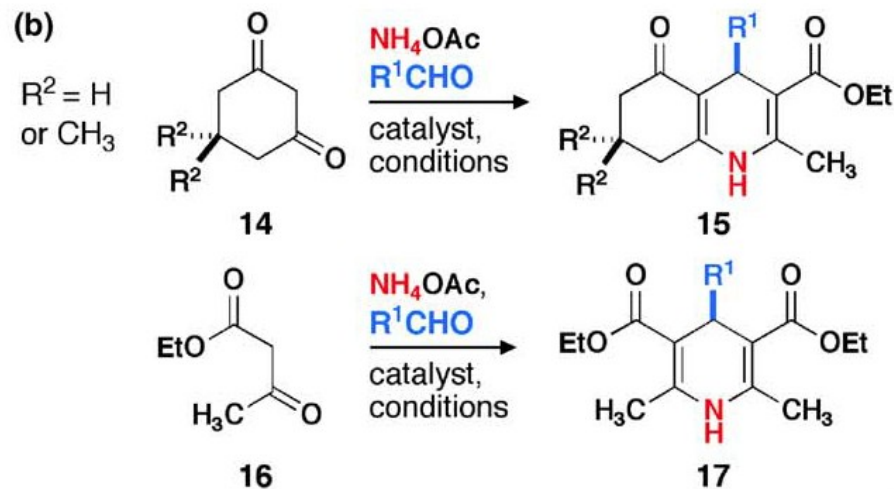
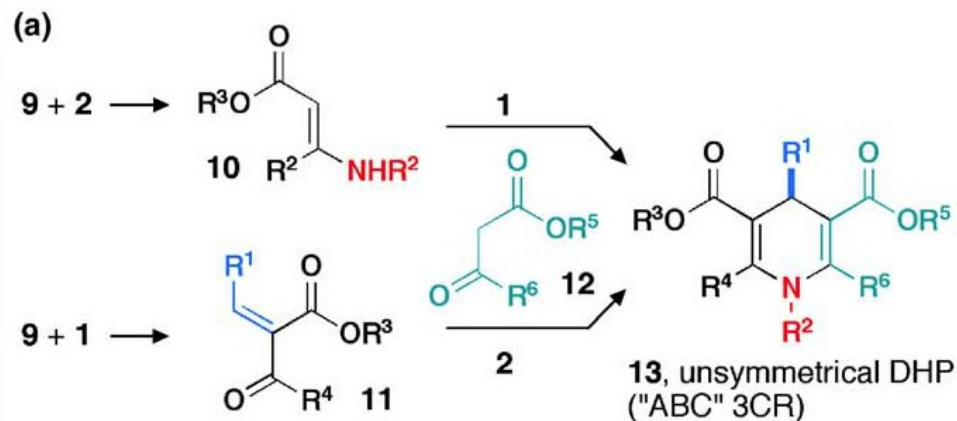
Arthur Rudolf Hantzsch
7 mars 1857 – 14 mars 1935



Hantzsch - mécanisme

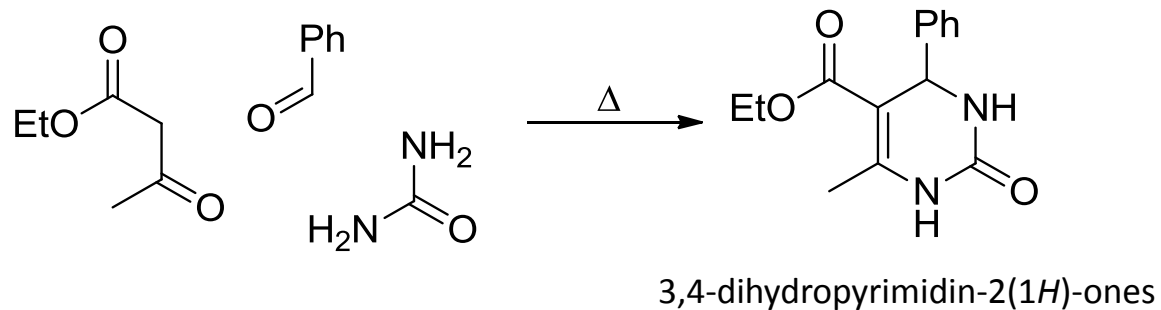


Réactions Multicomposants – Hantzsch



catalyst	Yb(OTf) ₃	CAN	L-Pro	18	PhB(OH) ₂	CeCl ₃ ·7H ₂ O
product	15	15	15	15	17	17
loading (mol%)	5	5	10	10	10	5
yield (%)	85-95	85-98	83-96	69-94	81-95	61-92
solvent	EtOH	EtOH	(none)	CH ₃ CN	EtOH	CH ₃ CN
time (h)	2-8	0.5-4	0.5	5	4-5	3-6
temperature	25 °C	25 °C	25 °C	25 °C	80 °C	25 °C
# of examples	17	16	14	15	13	15
ee	-	-	-	87-99%	-	-

Réactions Multicomposants – Biginelli (1891)



Pietro Biginelli

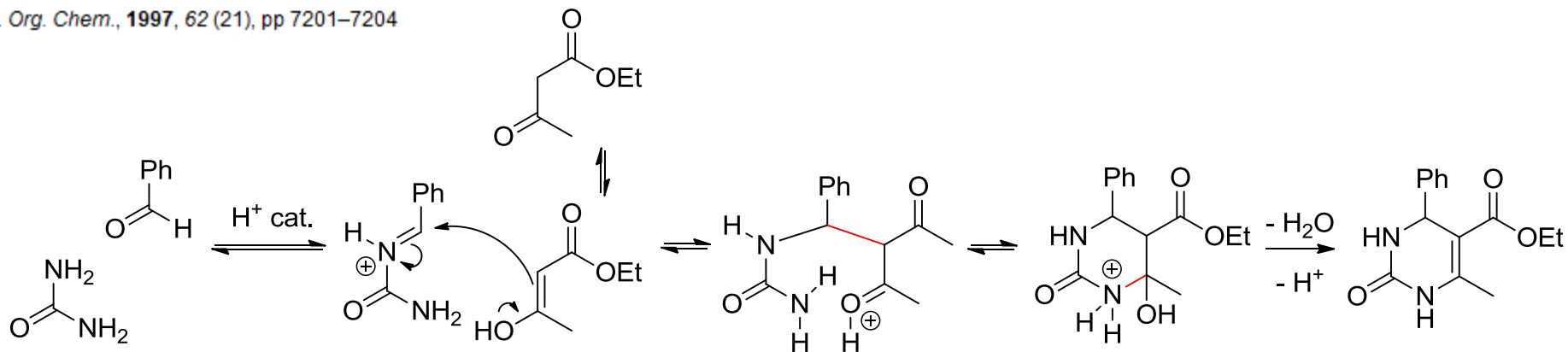
25 juillet 1860 – 15 janvier 1937

A Reexamination of the Mechanism of the Biginelli Dihydropyrimidine Synthesis. Support for an *N*-Acyliminium Ion Intermediate¹

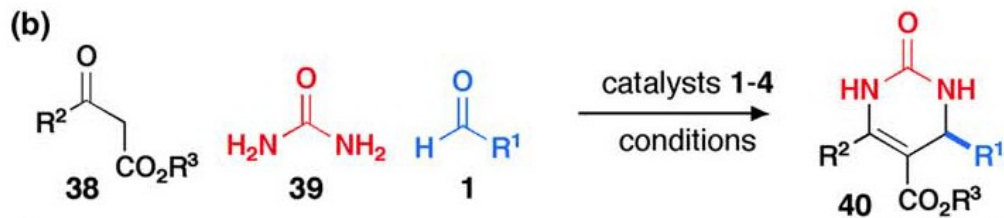
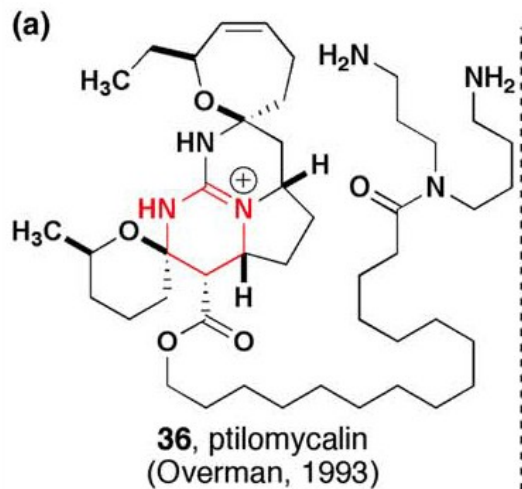
C. Oliver Kappe *

Institute of Organic Chemistry, Karl-Franzens-University Graz, A-8010 Graz, Austria

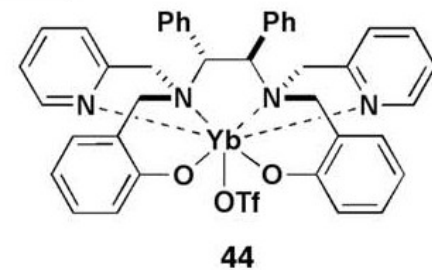
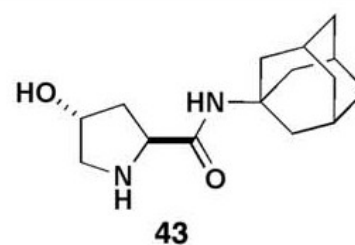
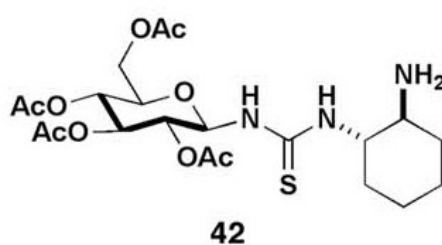
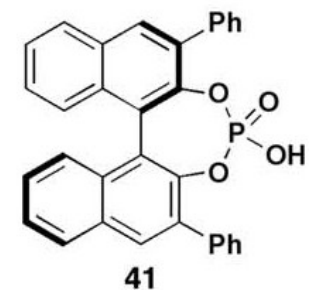
J. Org. Chem., **1997**, 62 (21), pp 7201–7204



Réactions Multicomposants – Biginelli



	41	42	43	44
loading (mol%)	10	5	5	10
ee (%)	88-97	15-99	70-98%	88-99
yield (%)	40-94	51-93	34-73%	73-94%
solvent	CH ₂ Cl ₂	CH ₂ Cl ₂	dioxane/THF (1:4)	THF
time (h)	96	72	36-156	20-30
temperature	25 °C	25 °C	25 °C	25 °C
# of examples	24	13	15	14



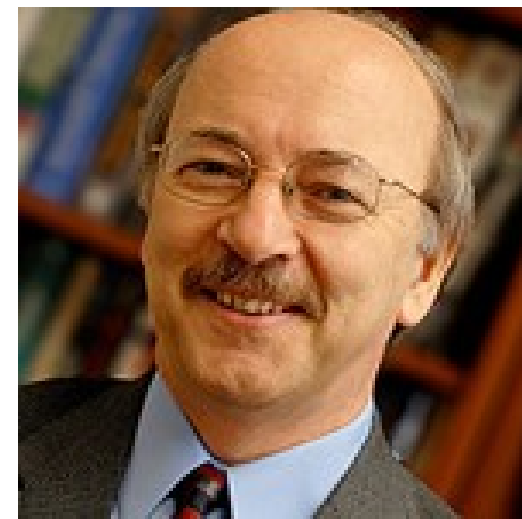
Réactions Multicomposants – Petasis (1993)



Tetrahedron Letters

Volume 34, Issue 4, 22 January 1993, Pages 583–586

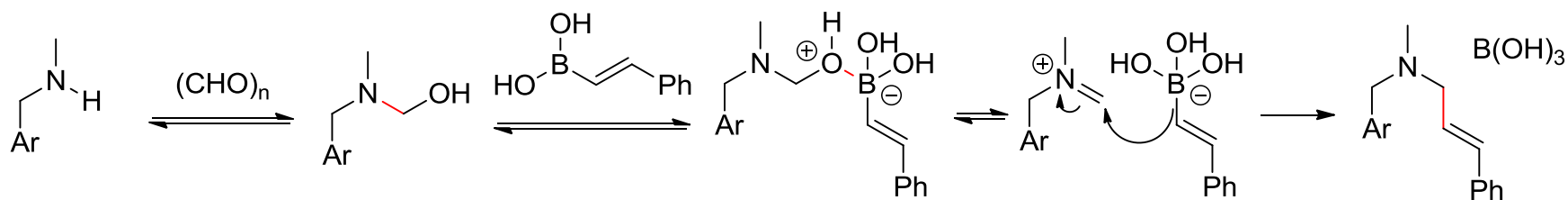
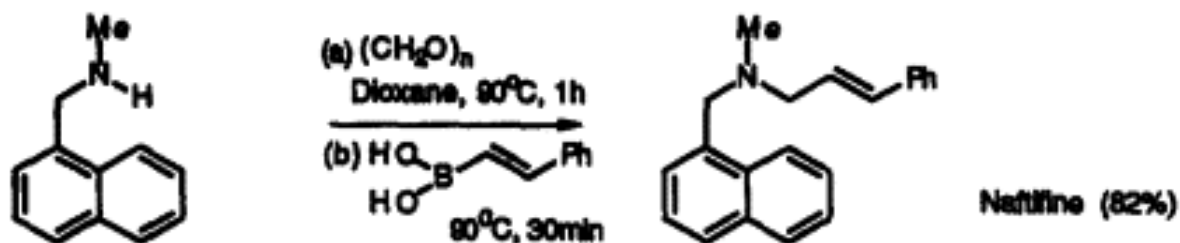
The International Journal for the Rapid Publication of Preliminary



Nicos A. Petasis

The boronic acid mannich reaction: A new method for the synthesis of geometrically pure allylamines

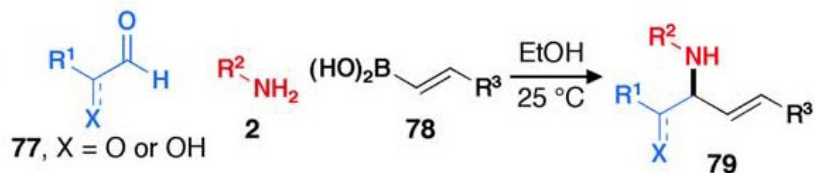
Nicos A. Petasis, Irimi Akritopoulou



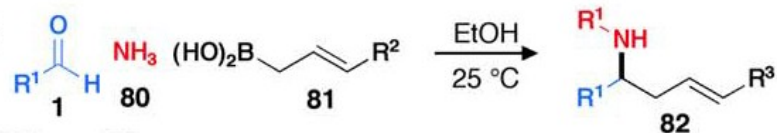
Réactions Multicomposants – Petasis

(a)

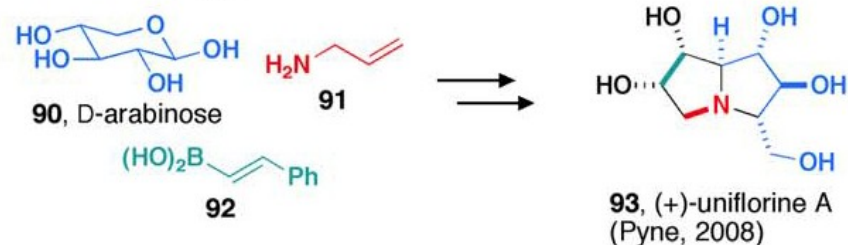
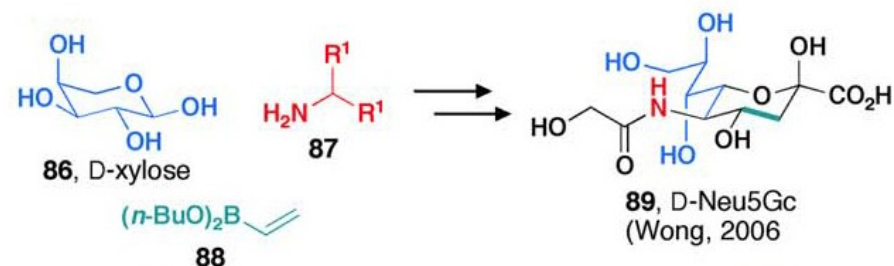
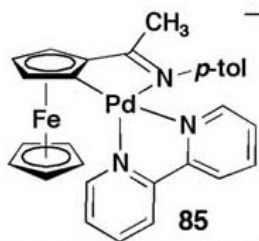
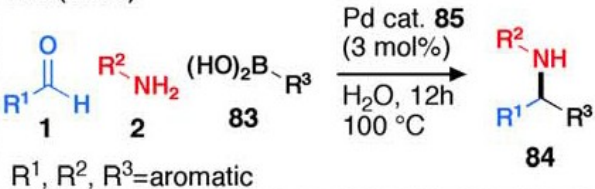
Petasis
(1997)



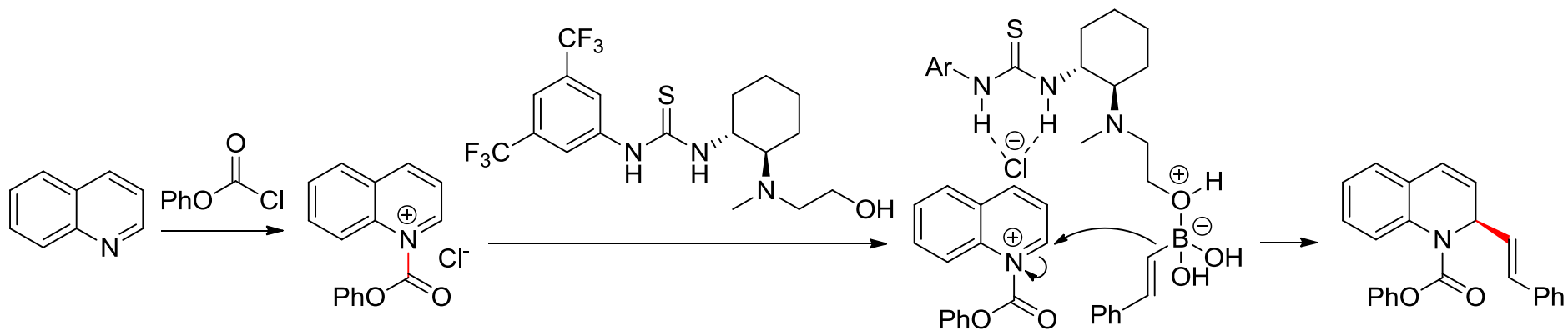
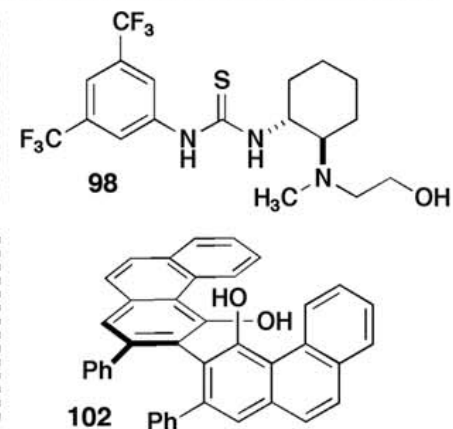
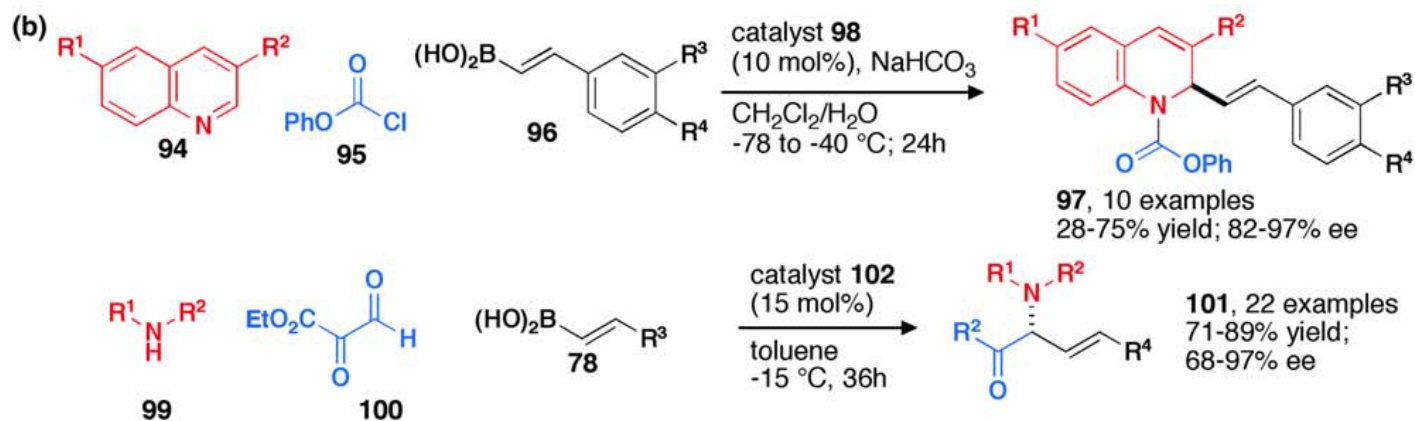
Kobayashi
(2004)



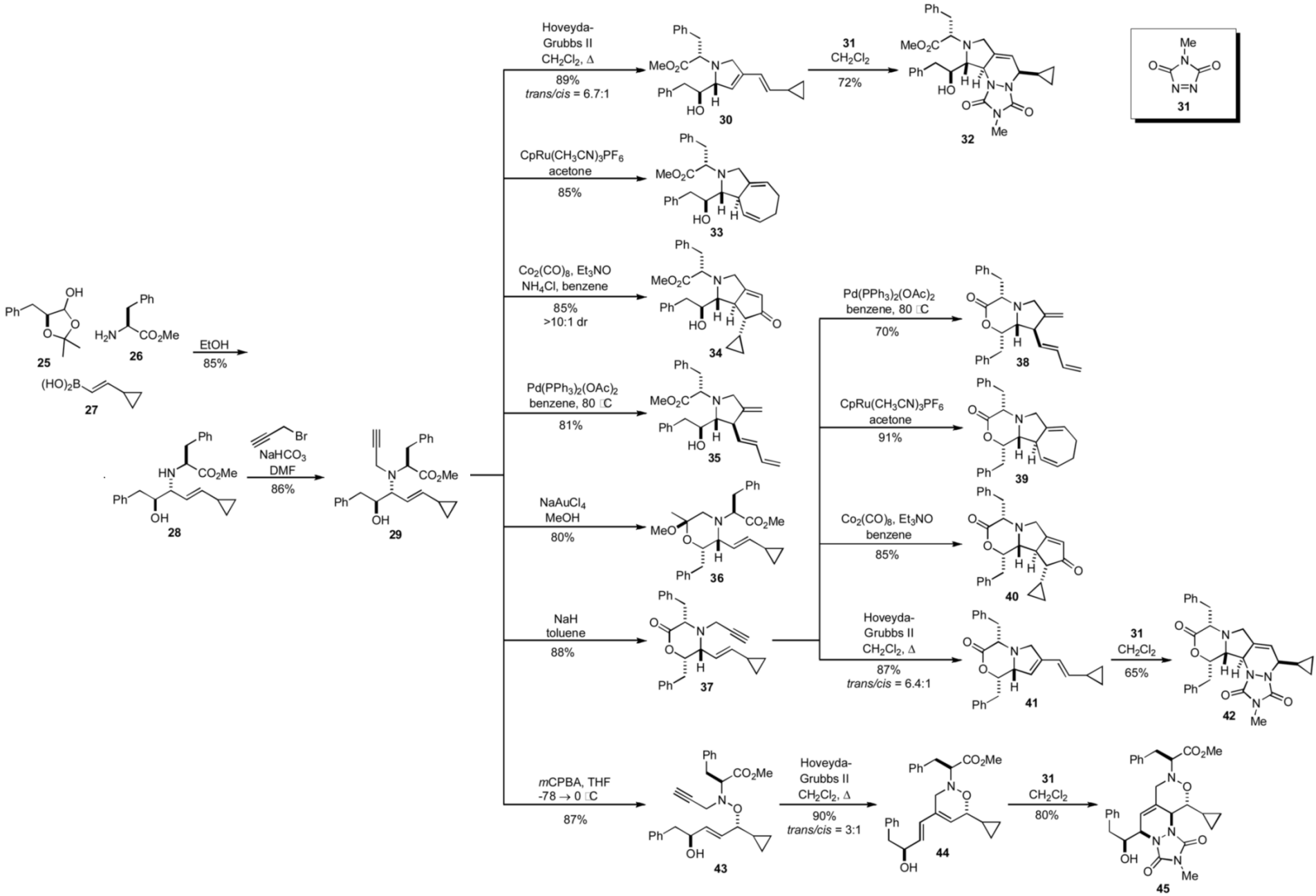
Wu (2009)



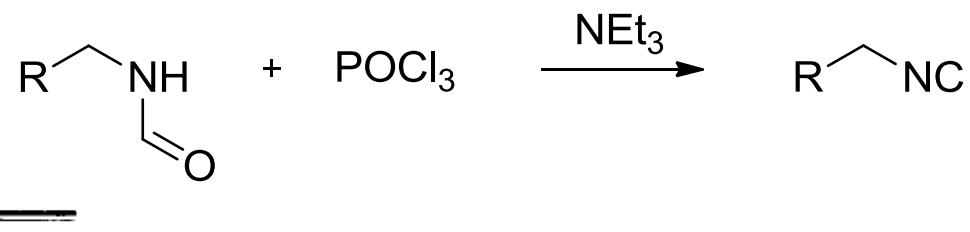
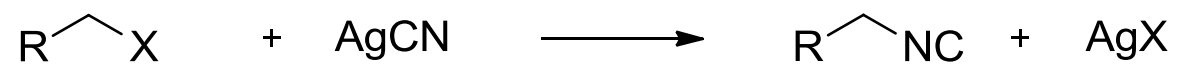
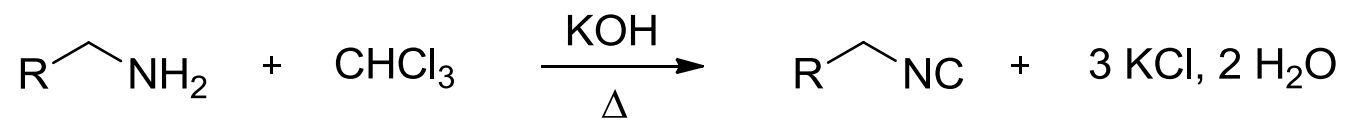
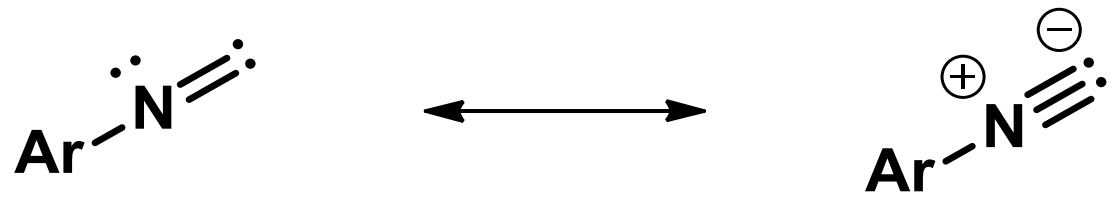
Réactions Multicomposants – Petasis



Réactions Multicomposants – Petasis pour la DOS



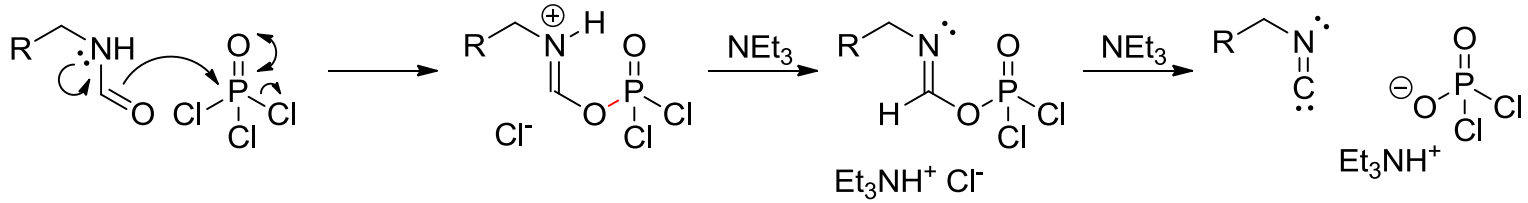
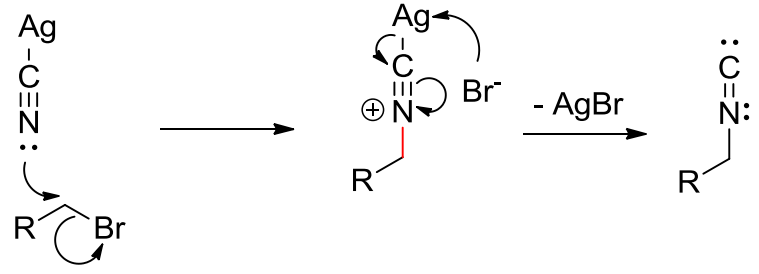
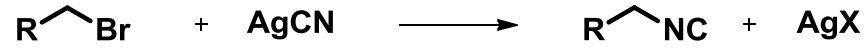
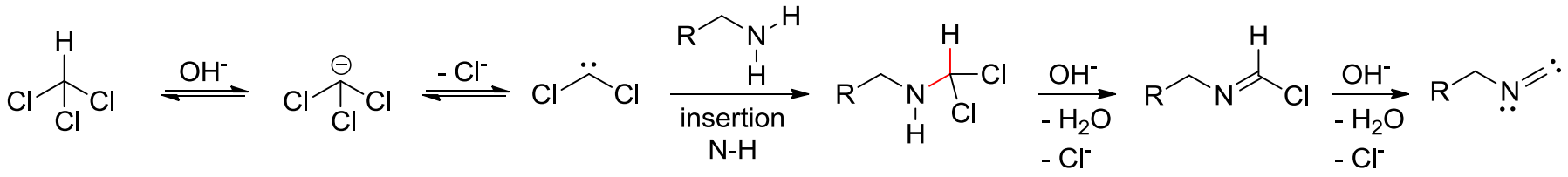
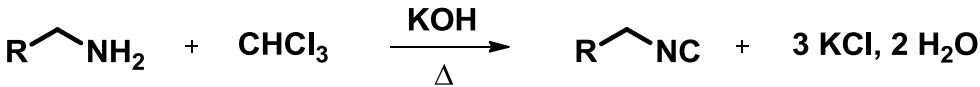
Réactions Multicomposants – Isonitriles



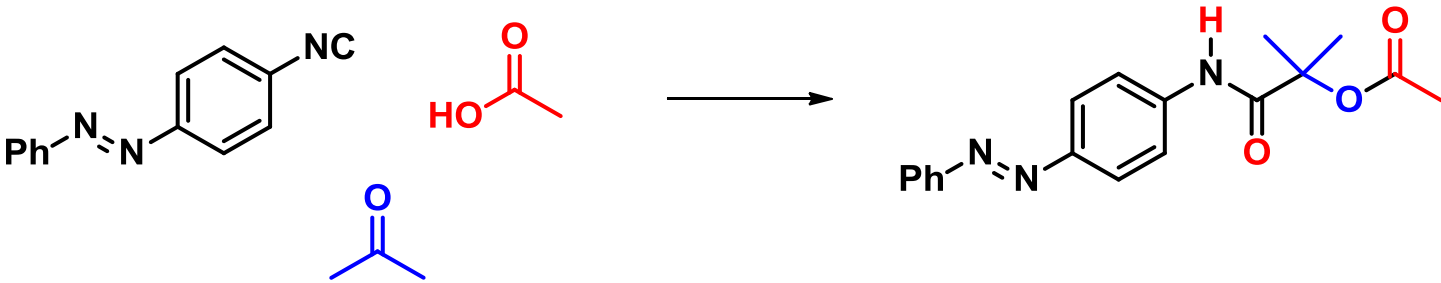
Ueber die Einwirkung des Chlorwasserstoffs
 u. a. auf das Aethyl- und Methylcyanür;
1867. von *A. Gautier* *).

Einwirkung der Wasserstoffsäuren. — Läßt man einen
 Strom getrockneten Chlorwasserstoffgases durch reines Aethyl-

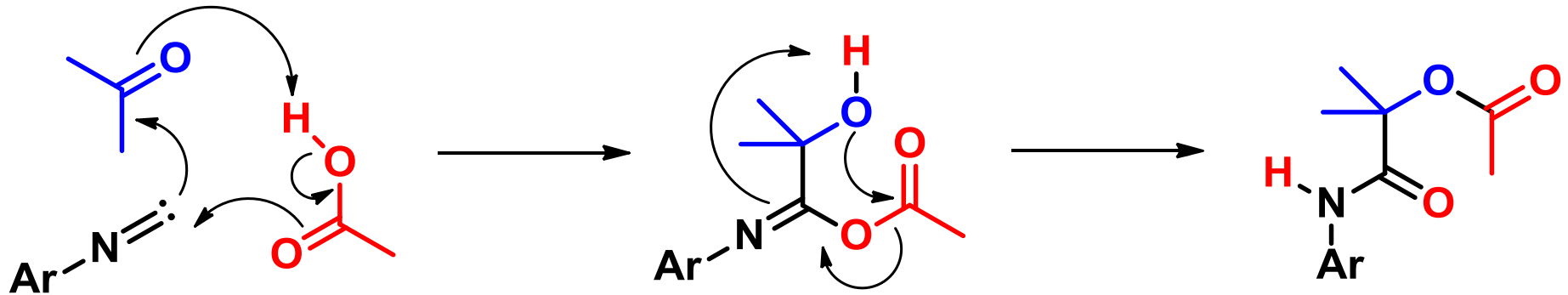
Réactions Multicomposants – Isonitriles



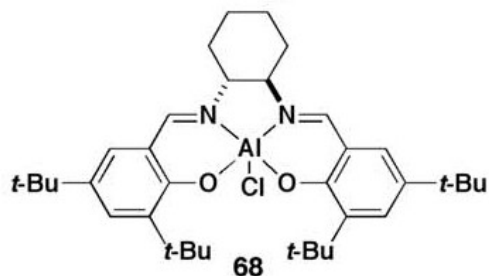
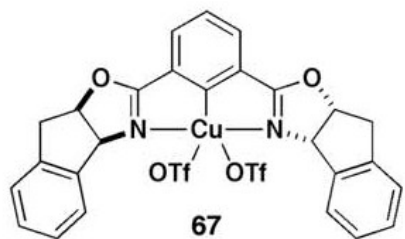
Réactions Multicomposants – Passerini (1921)



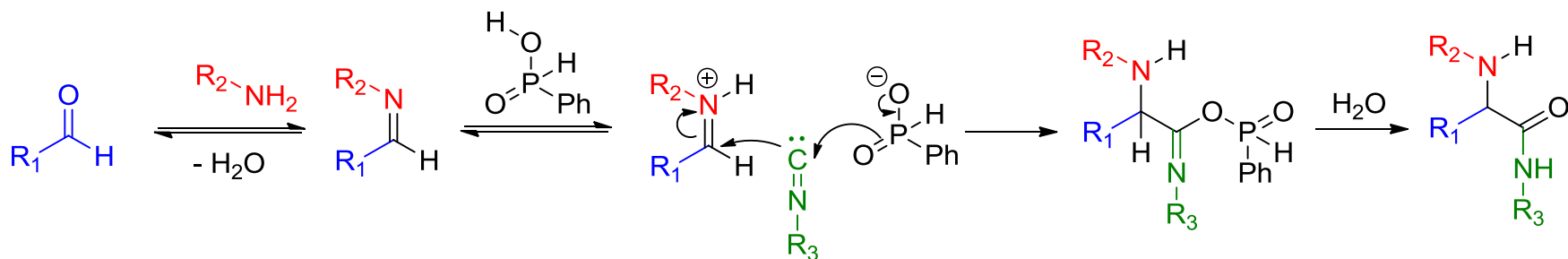
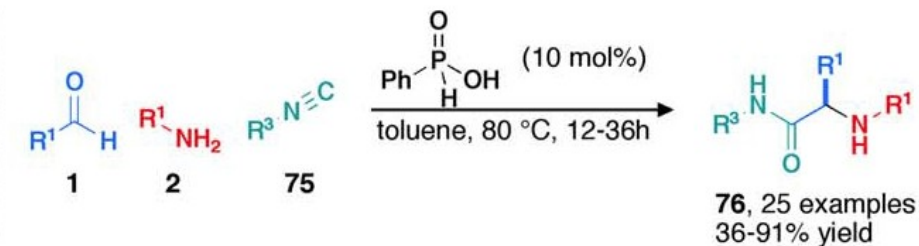
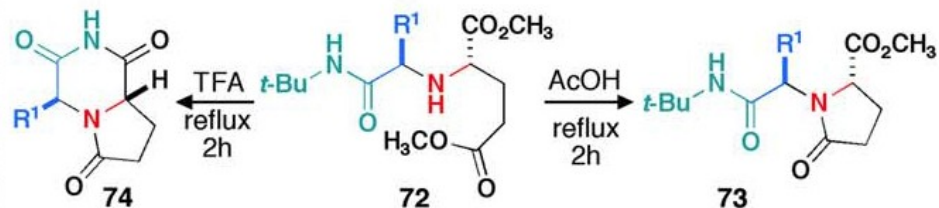
Mario (Torquato) Passerini (1891–1962)



Réactions Multicomposants – Passerini



catalyst	67	68
loading (mol%)	20	10
ee (%)	62-98	63-99
yield (%)	75-98	51-70
solvent	CH ₂ Cl ₂	toluene
time (h)	12-24	48
temperature	0 °C	-40 °C
# of examples	16	16



Réactions Multicomposants – Ugi (1962)

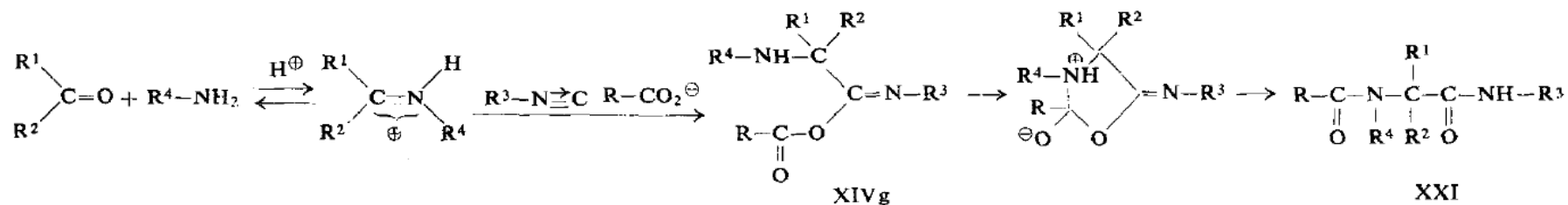
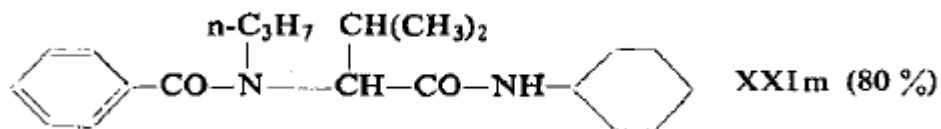
Novel Methods of Preparative Organic Chemistry IV

The α -Addition of Immonium Ions and Anions to Isonitriles Accompanied by Secondary Reactions

BY DOZ. DR. IVAR UGI [1]

INSTITUT FÜR ORGANISCHE CHEMIE DER UNIVERSITÄT MÜNCHEN

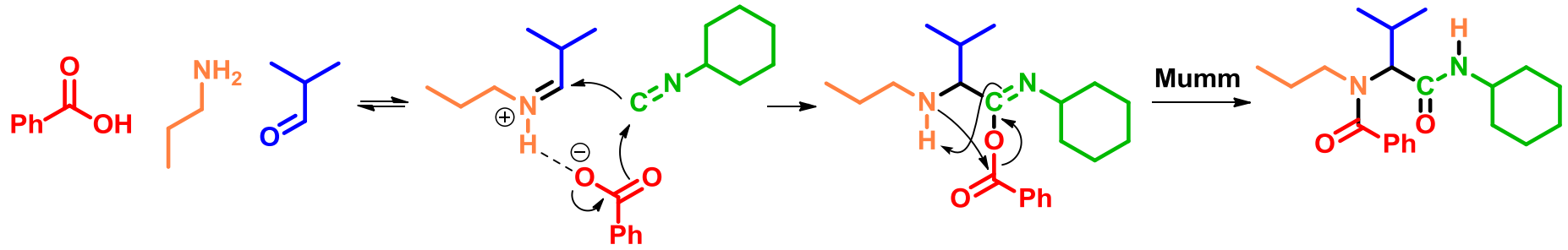
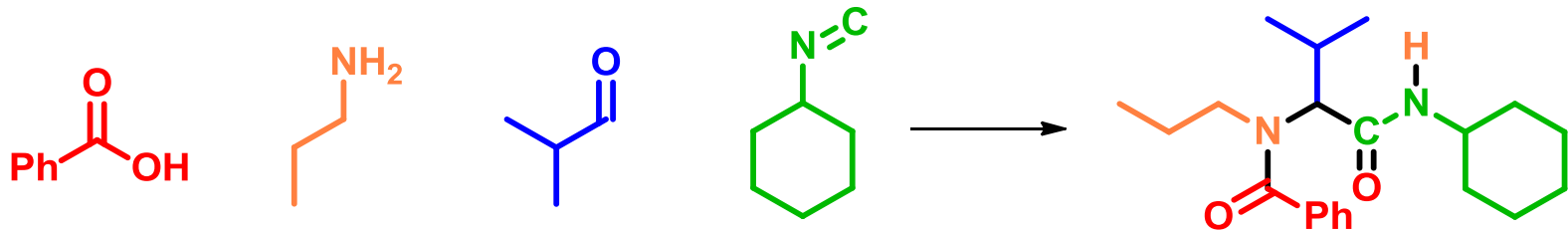
Angew. Chem. internat. Edit. | Vol. 1 (1962) | No. 1



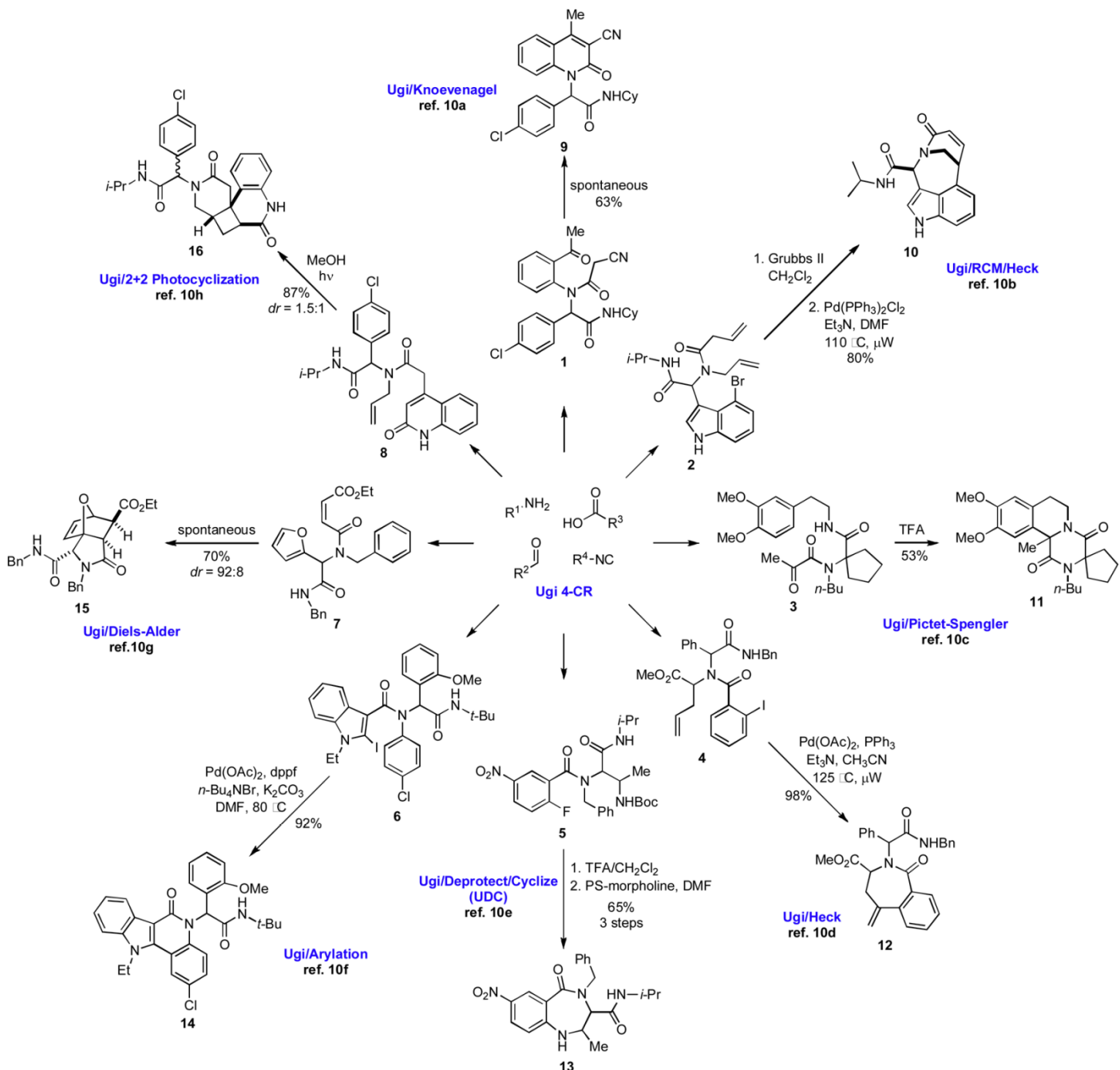
Ivar Karl Ugi

9 sept. 1930 - 29 sept. 2005

Mécanisme de la réaction de Ugi



Ugi pour la DOS



MCR Le Record

[*] Prof. Dr. I. Ugi, Dipl.-Chem. A. Dömling
Organisch-chemisches Institut I der Technischen Universität München
Lichtenbergstrasse 4, D-W-8046 Garching (FRG)

The Seven-Component Reaction**

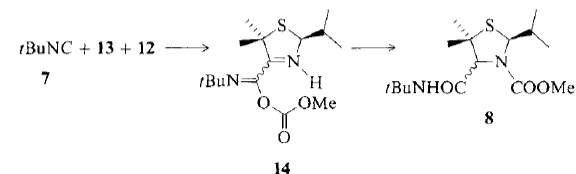
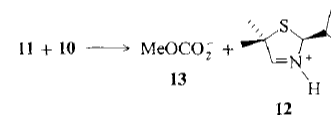
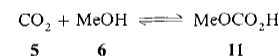
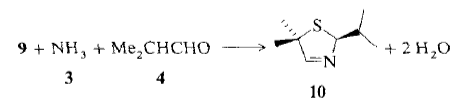
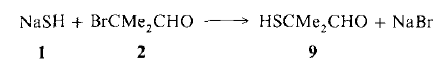
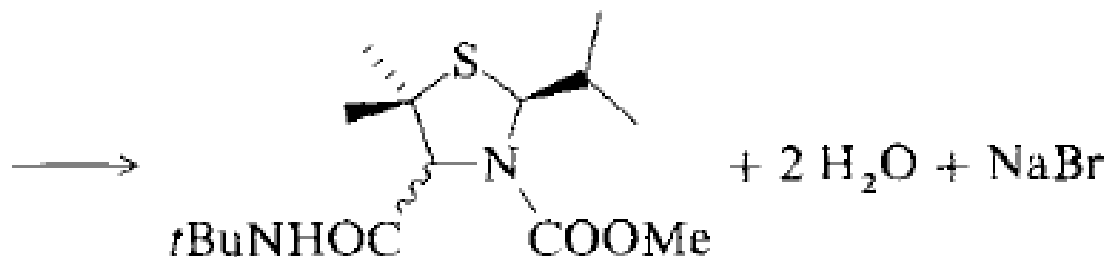
By Alexander Dömling and Ivar Ugi*

Angew. Chem. Int. Ed. Engl. 1993, 32, No. 4

© VCH Verlagsgesellsch

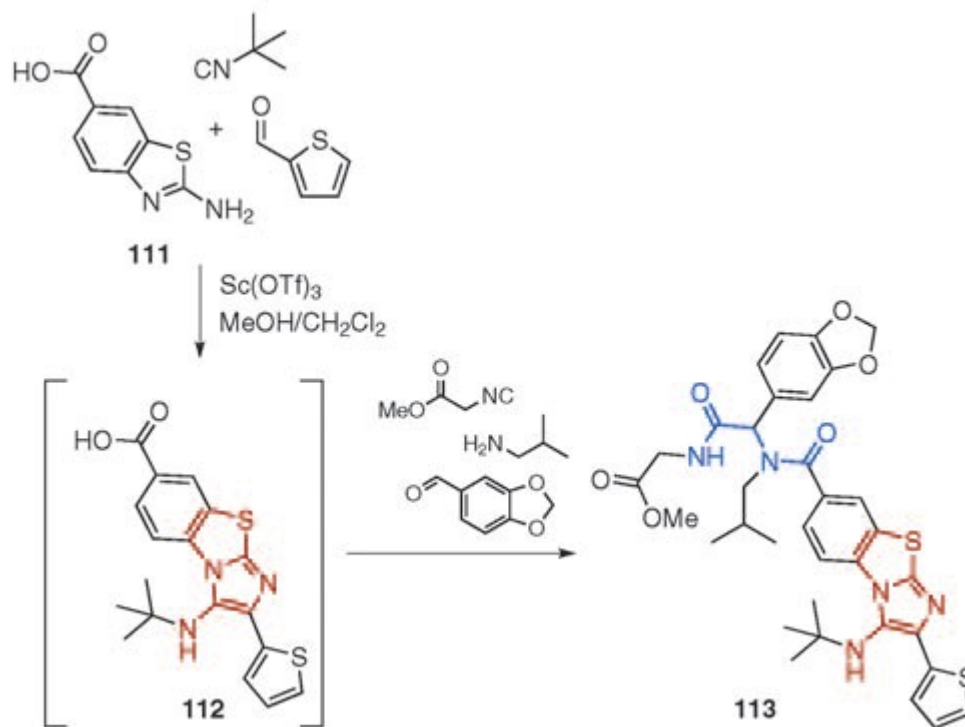


1 2 3 4 5 6 7



Scheme 2. Mechanism of the 7CC.

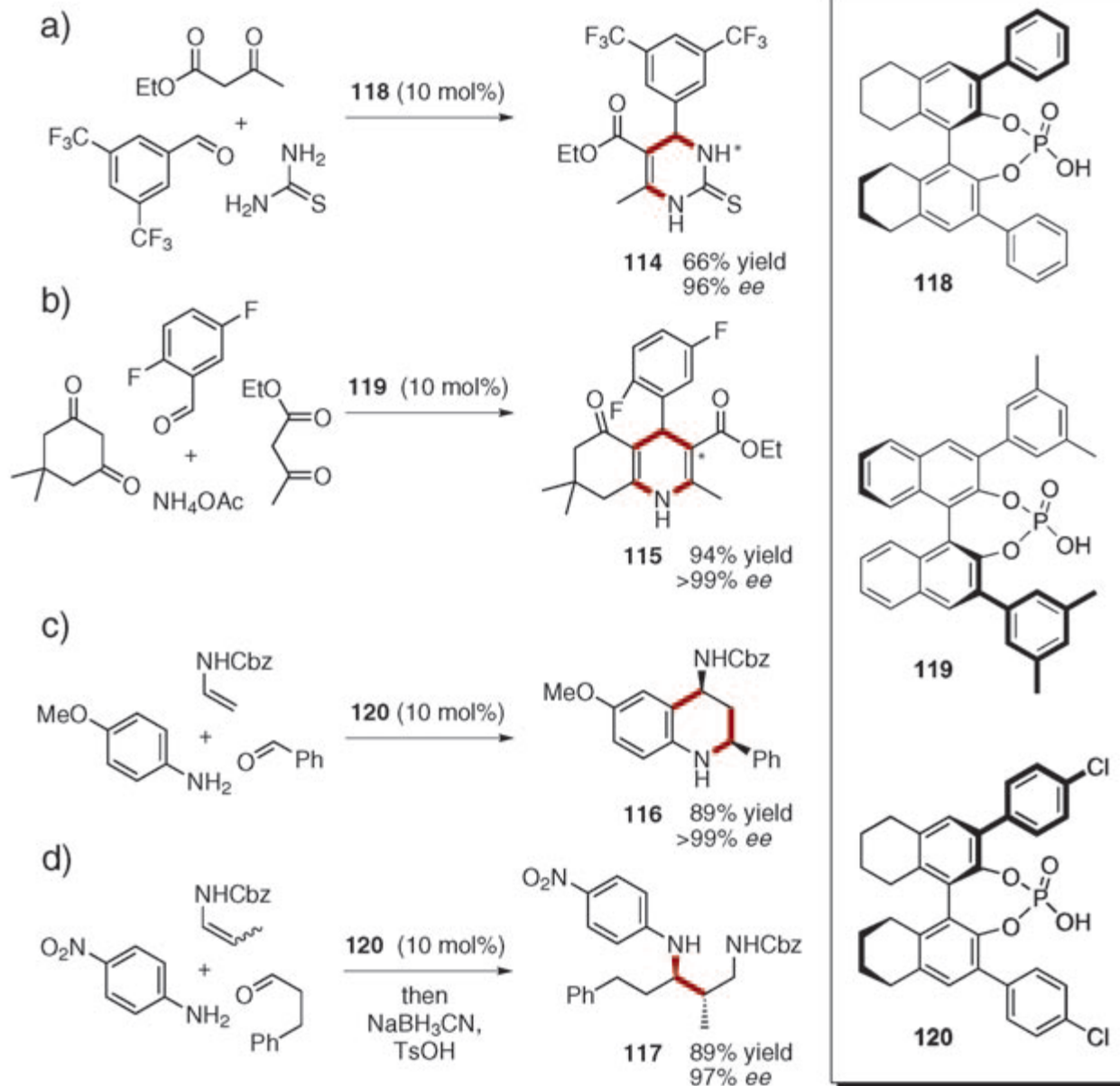
Exercices



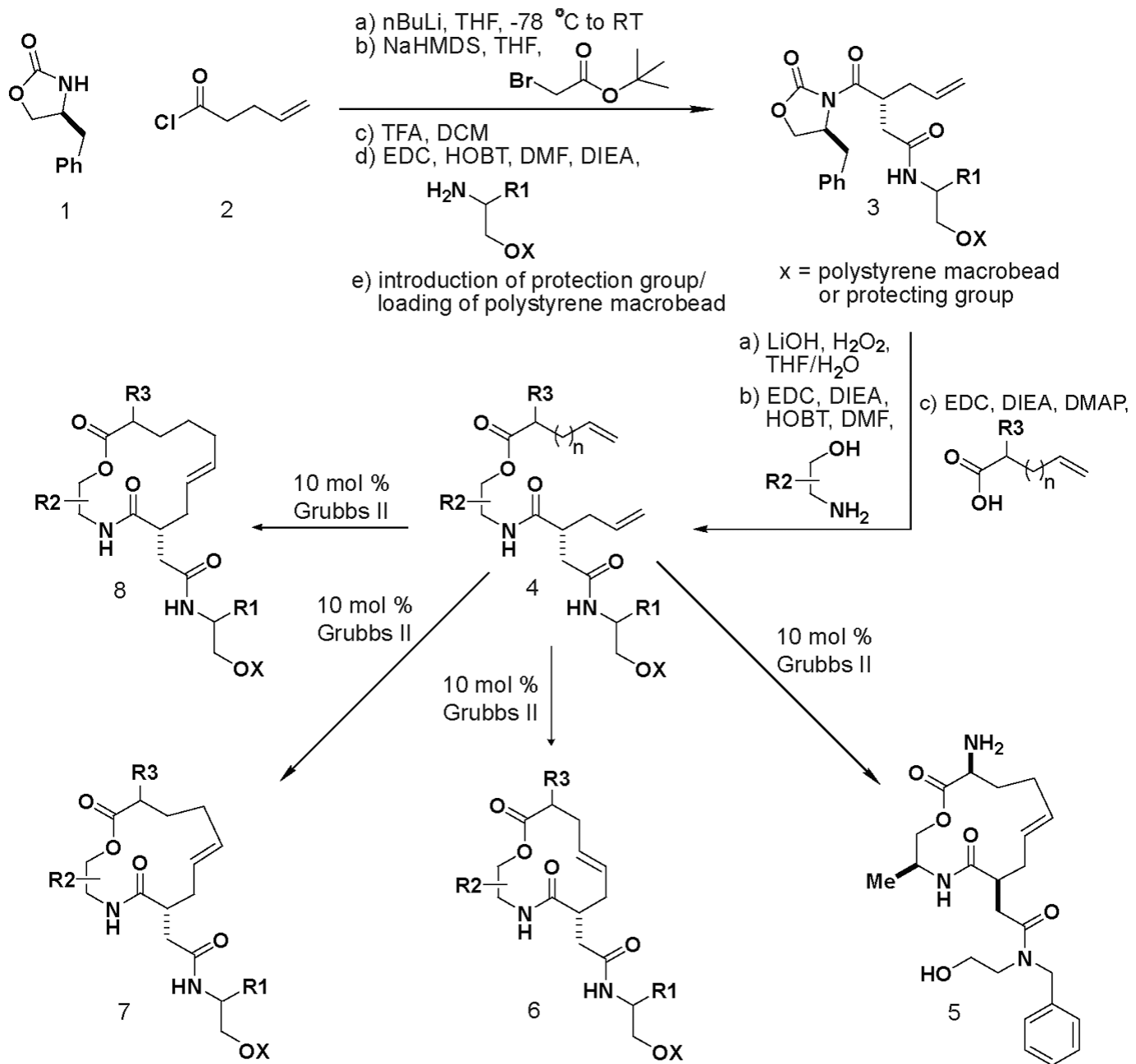
Combination of Groebke–Bienaym–Blackburn 3CR and Ugi 4CR. The primary MCR scaffold structures are shown in red and the secondary scaffolds in blue.

T. H. Al-Tel, R. A. Al-Qawasmeh, W. Voelter, *Eur. J. Org. Chem.* **2010**, 5586

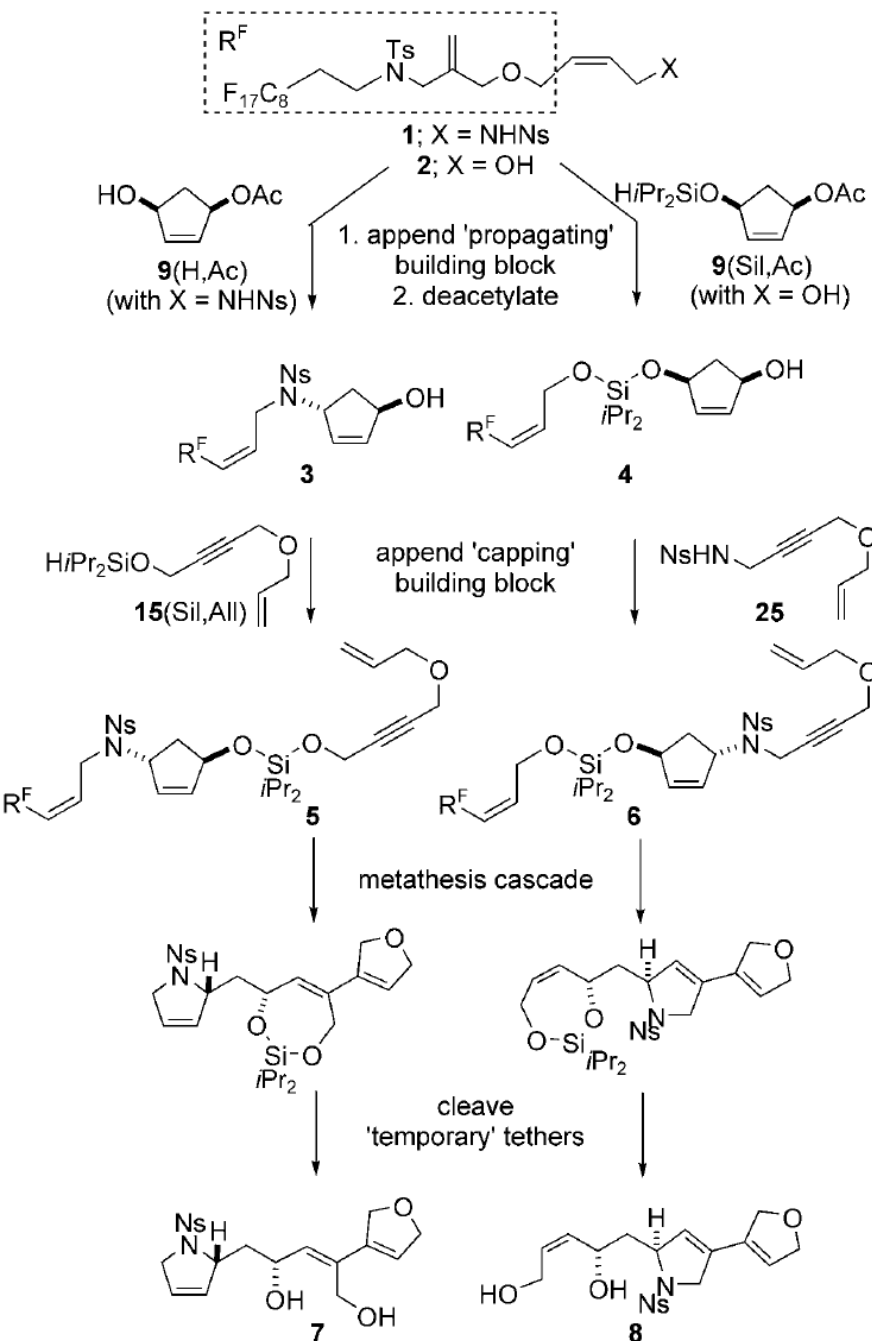
Exercices



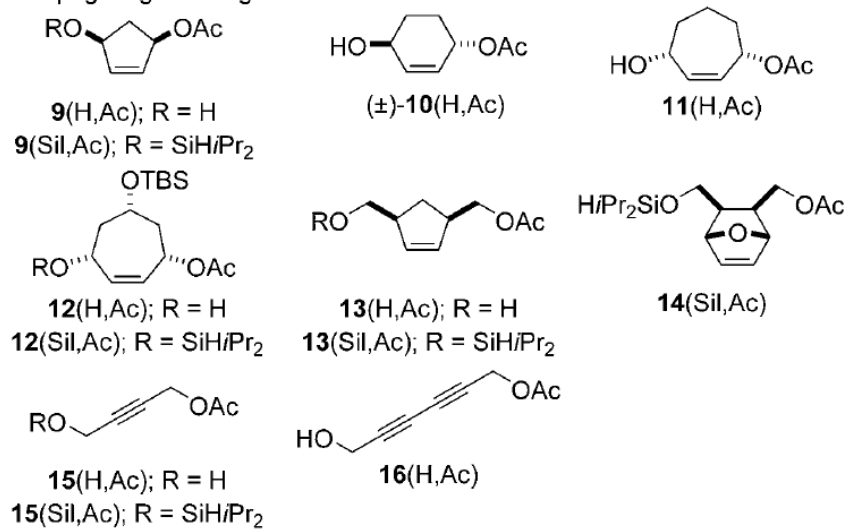
Organocatalytic asymmetric Biginelli 3CR using chiral phosphoric acid 118.[93] b) Organocatalytic asymmetric Hantzsch 4CR using chiral phosphoric acid 119.[92] c) Organocatalytic asymmetric Povarov 3CR using chiral phosphoric acid 120.[94] d) Organocatalytic asymmetric Mannich 3CR using chiral phosphoric acid 120.[95] Ref : [92] C. G. Evans, J. E. Gestwicki, *Org. Lett.* 2009, 11, 2957. [93] L.-Z. Gong, X.-H. Chen, X.-Y. Xu, *Chem. Eur. J.* 2007, 13, 8920. [94] H. Liu, G. Dagousset, G. Masson, P. Retailleau, J. Zhu, *J. Am. Chem. Soc.* 2009, 131, 4598. [95] G. Dagousset, F. Drouet, G. Masson, J. Zhu, *Org. Lett.* 2009, 11, 5546.



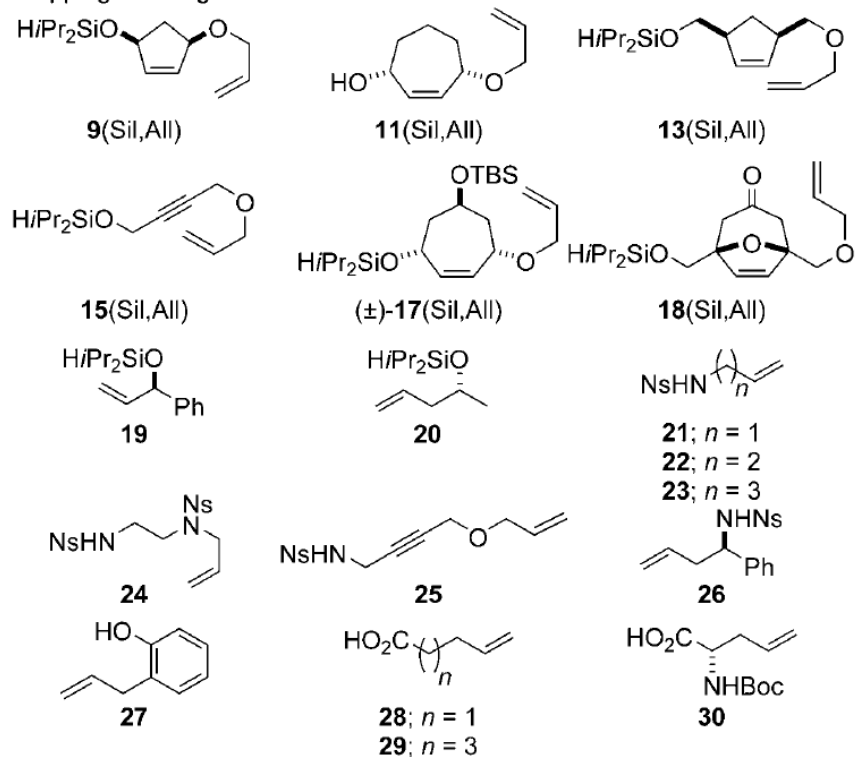
Exercices

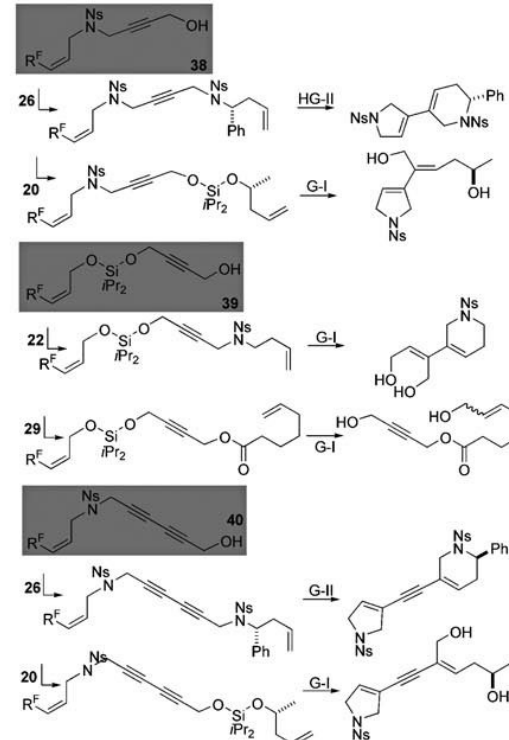
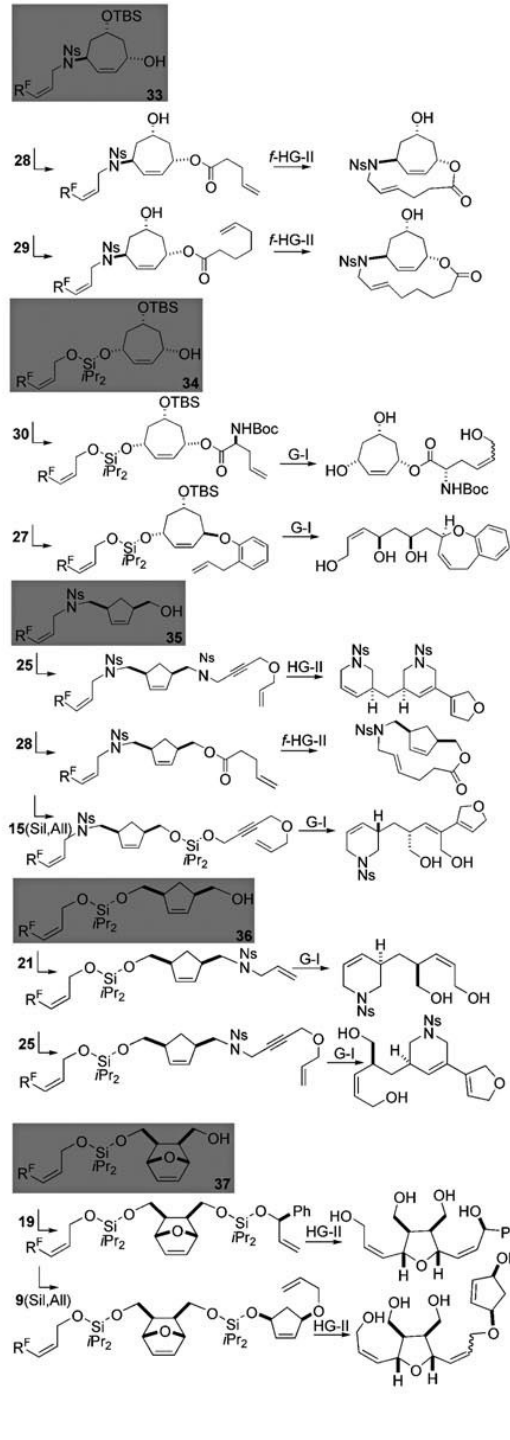
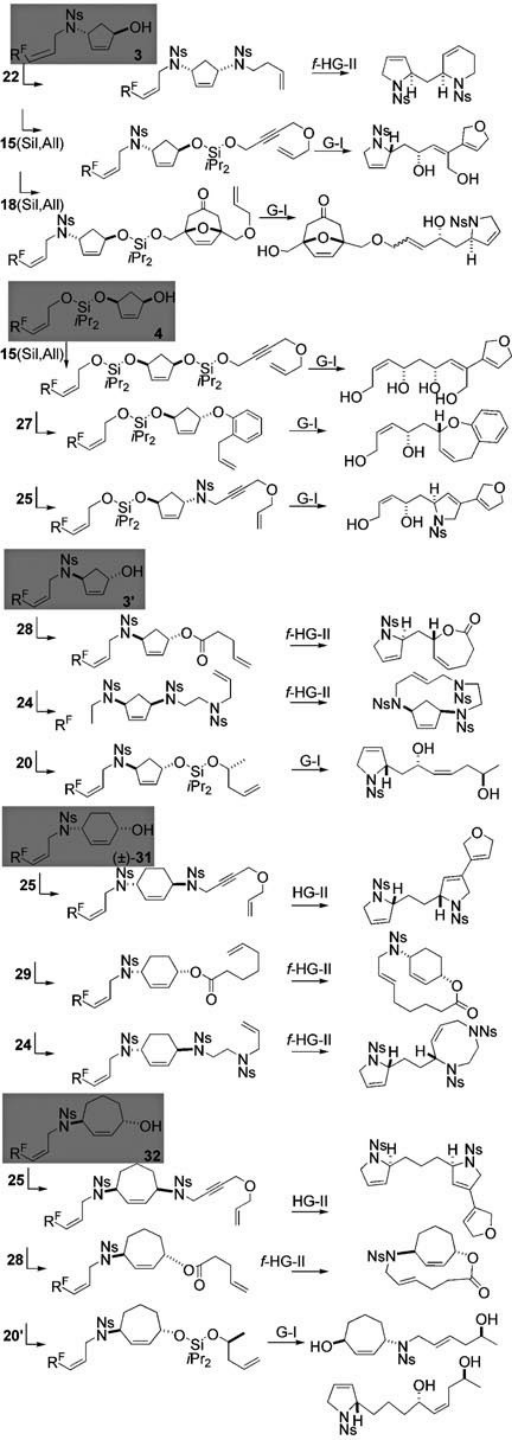


'Propagating' building blocks:



'Capping' building blocks:





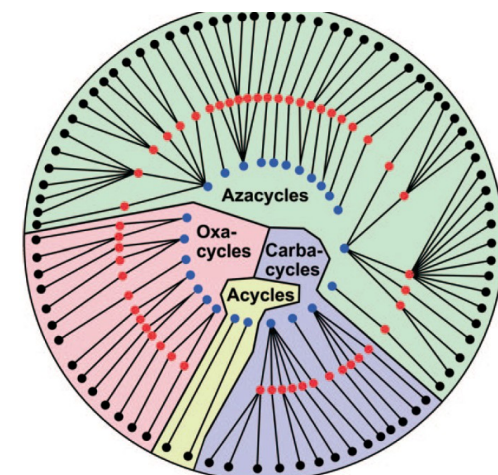
VIP Scaffold Diversity

DOI: 10.1002/anie.200804486

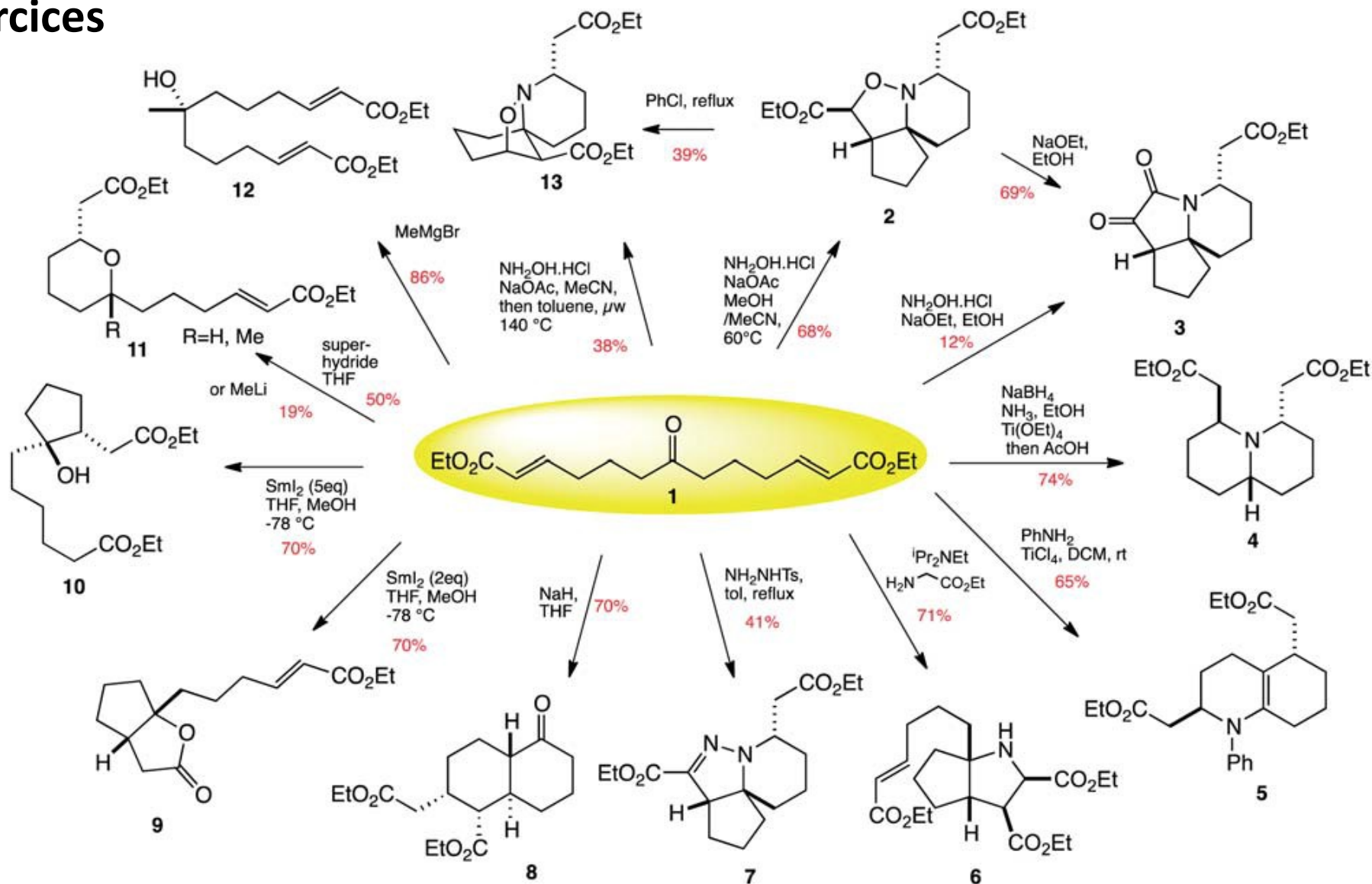
Synthesis of Natural-Product-Like Molecules with Over Eighty Distinct Scaffolds**

Daniel Morton, Stuart Leach, Christopher Cordier, Stuart Warriner, and Adam Nelson*

Angew. Chem. Int. Ed. 2009, 48, 104–109



Exercices



Cite this: *Chem. Sci.*, 2011, 2, 2232

www.rsc.org/chemicalscience

EDGE ARTICLE

Synthesis of natural-product-like scaffolds in unprecedented efficiency via a 12-fold branching pathway†‡

Diane Robbins,^a Annabella F. Newton,^a Camille Gignoux,^a Jean-Christophe Legeay,^a Alex Sinclair,^b Martin Rejzek,^b Carly A. Laxon,^b Sai K. Yalamanchili,^b William Lewis,^a Maria A. O'Connell^{ab} and Robert A. Stockman^{*,aa}

Exercices

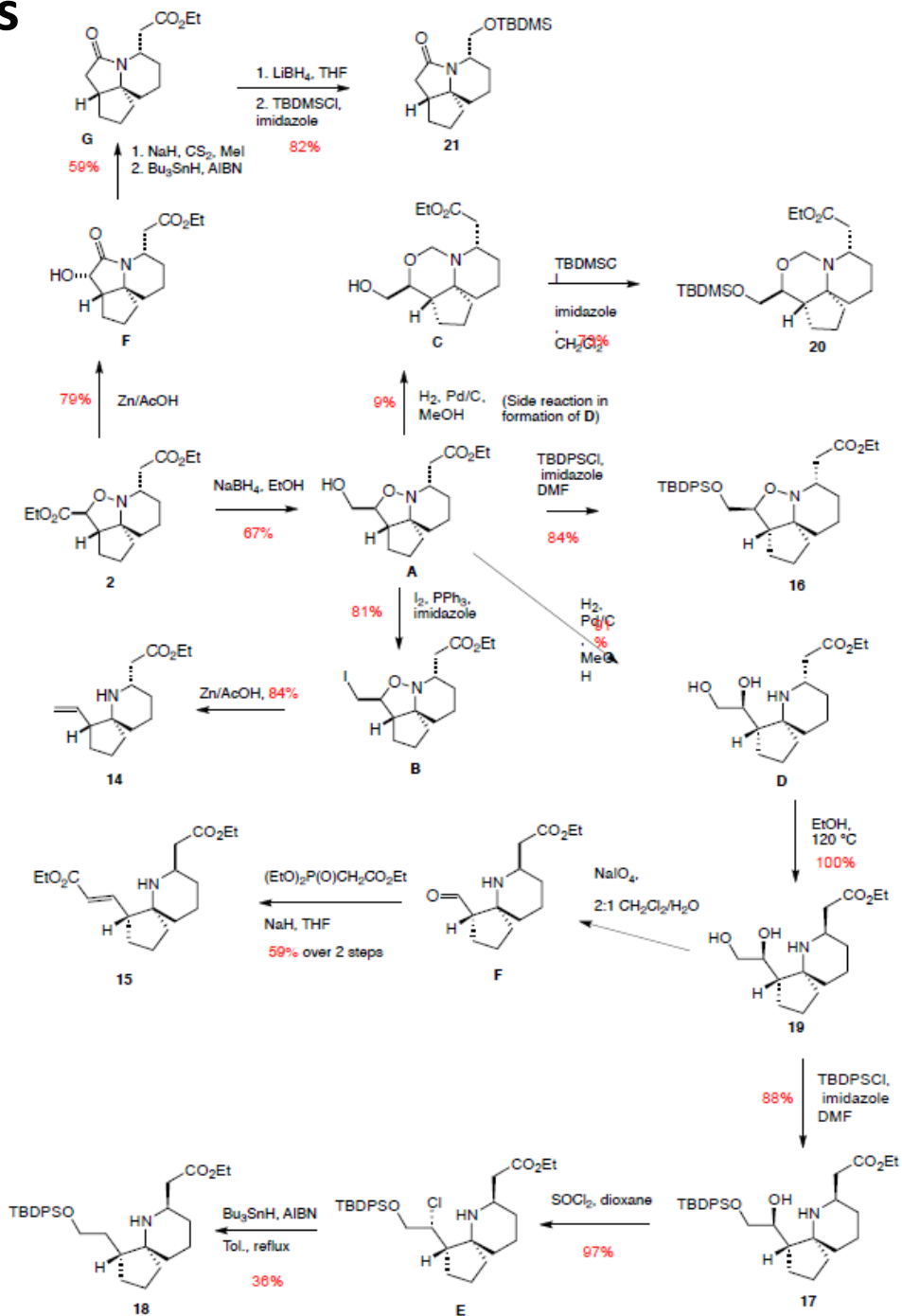
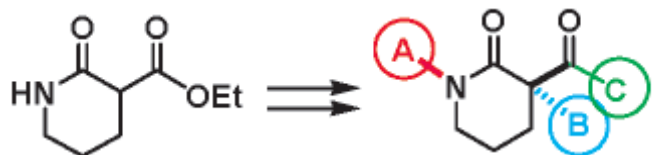


Table 1 Screen of scaffold 2 and analogues against three cancer cell lines

Compound	IC ₅₀ values/μM		
	HL-60	THP-1	A549
	—	>100	—
2	—	>100	—
	22.4	27.5	41.3
14	22.4	27.5	41.3
	>100	>100	>100
15	>100	>100	>100
	24	33	29
16	24	33	29
	4.7	2.1	22.4
17	4.7	2.1	22.4
	11.0	3.5	>100
18	11.0	3.5	>100
	48.8	>100	>100
19	48.8	>100	>100
	34	44	44
20	34	44	44
	42	36	43
21	42	36	43
	18.6	>100	—
22	18.6	>100	—

Exercices

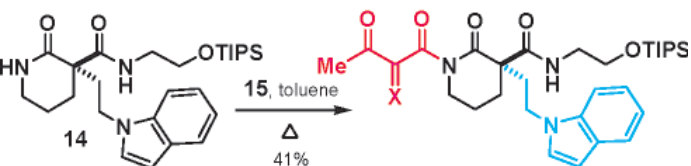
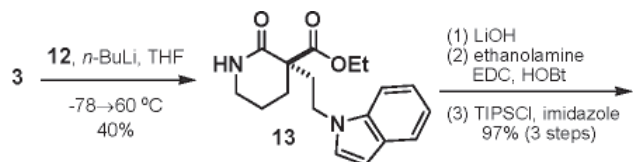


3

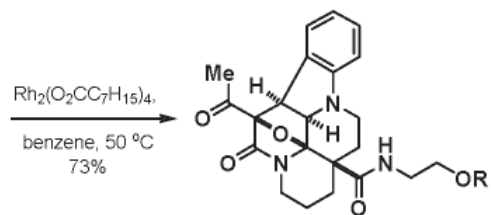
Modes of cycloaddition

A → B, B → A, C → A

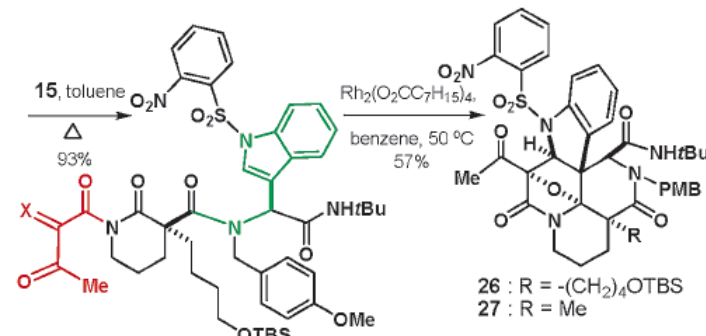
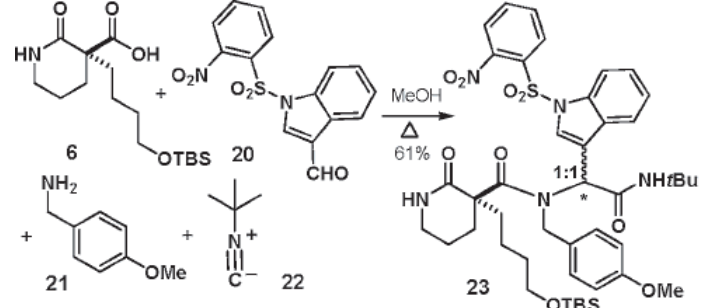
A → C, B → C, C → B



MsN₃, Et₃N
CH₃CN
84%
16: X = H, H
17: X = N₂

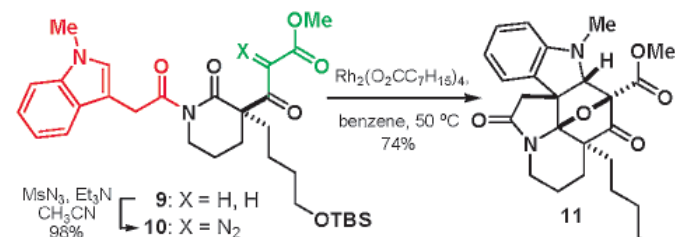
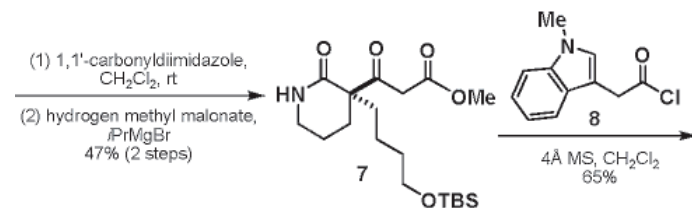
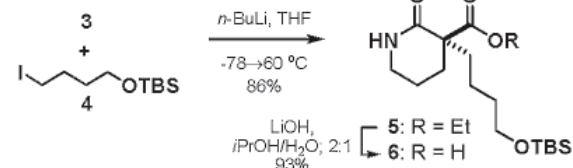


TBAF then
4Å MS, Et₃N
4-biphenylcarbonyl chloride,
67%
18: R = TIPS
19: R = CO-*p*-C₆H₄-Ph



MsN₃, Et₃N
CH₃CN
98%
24: X = H, H
25: X = N₂

26: R = -(CH₂)₄OTBS
27: R = Me



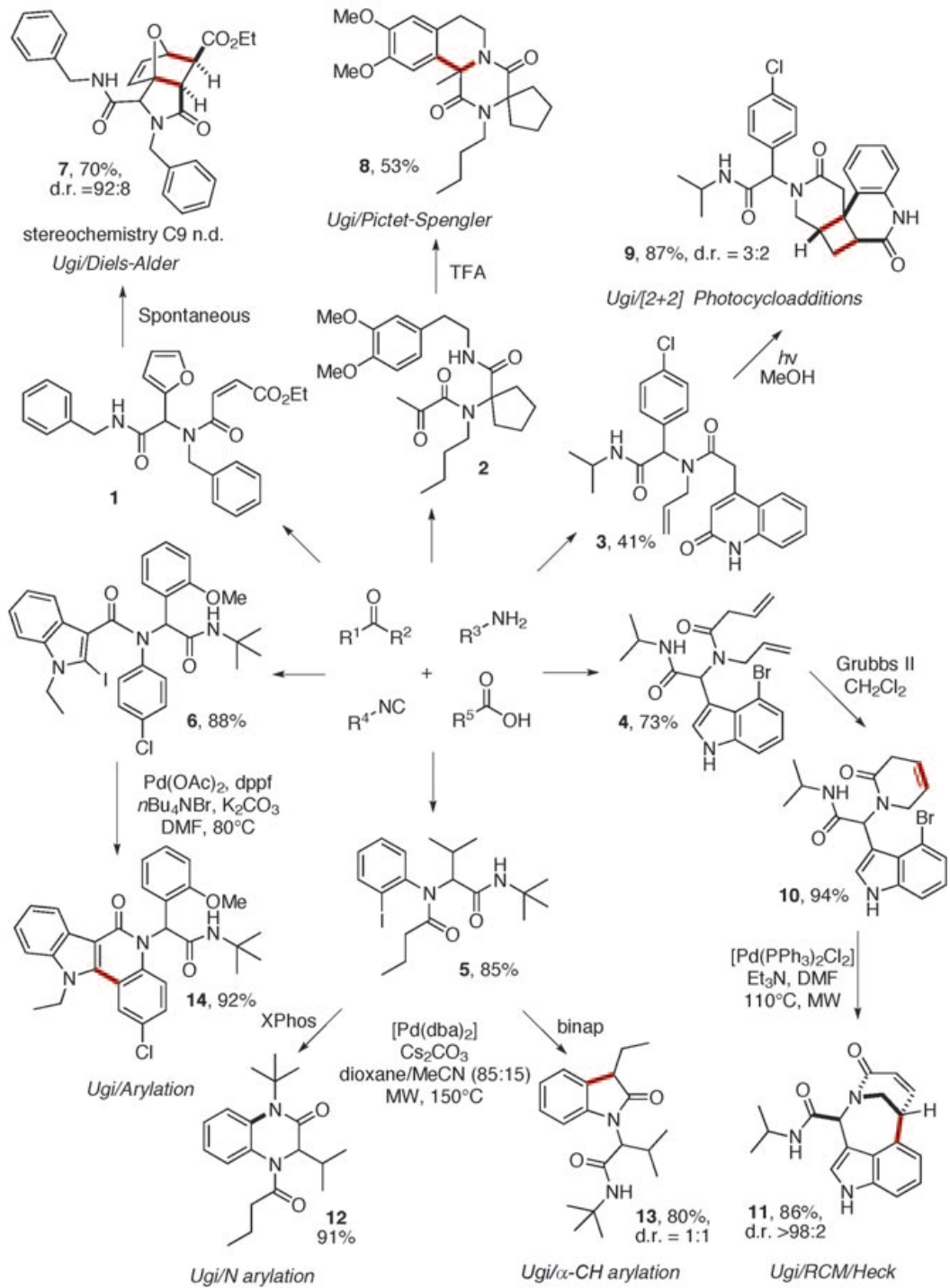
MsN₃, Et₃N
CH₃CN
98%
9: X = H, H
10: X = N₂

Skeletal Diversity via a Folding Pathway: Synthesis of Indole Alkaloid-Like Skeletons

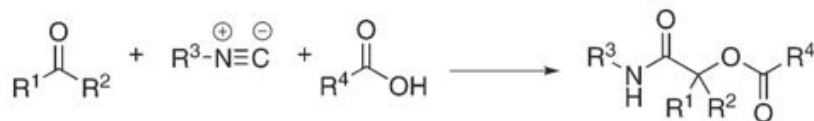
ORGANIC LETTERS

2005
Vol. 7, No. 1
47–50

Exercices

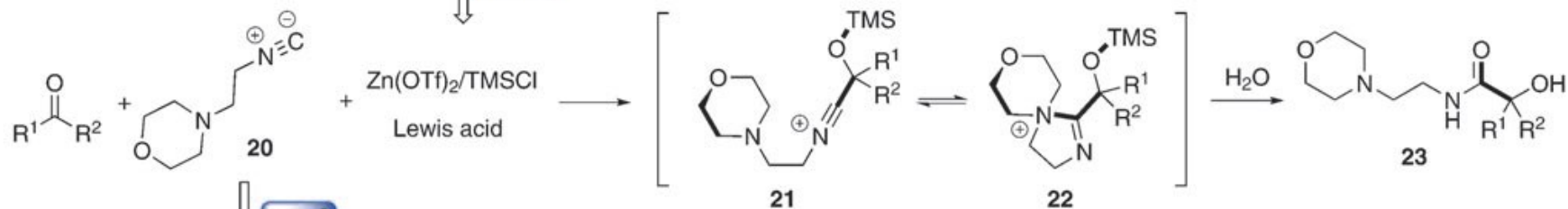


Exercices

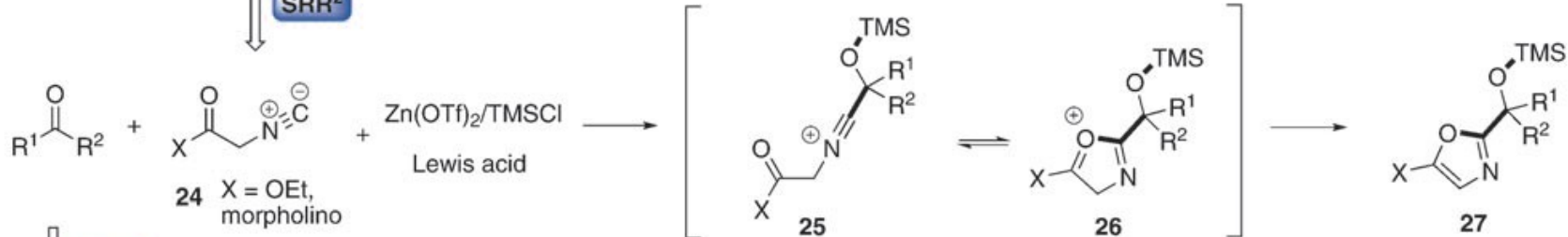


P-3CR

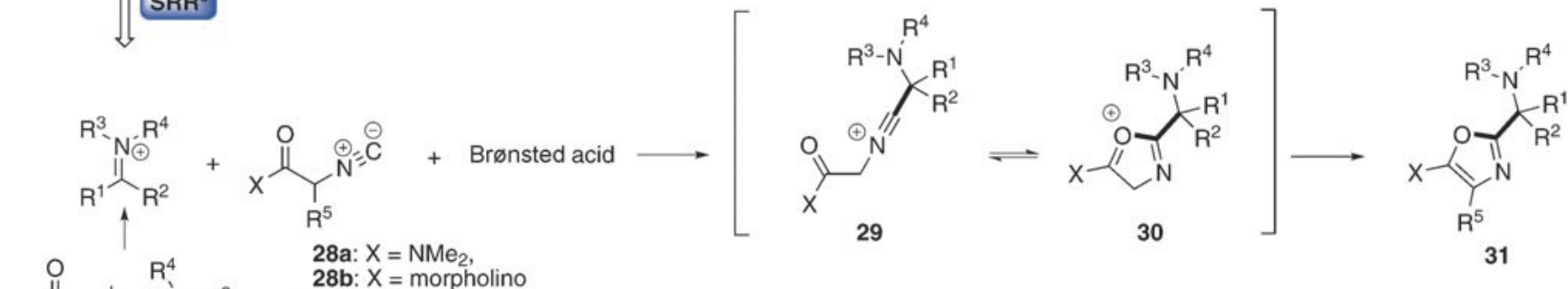
SRR¹



SRR²

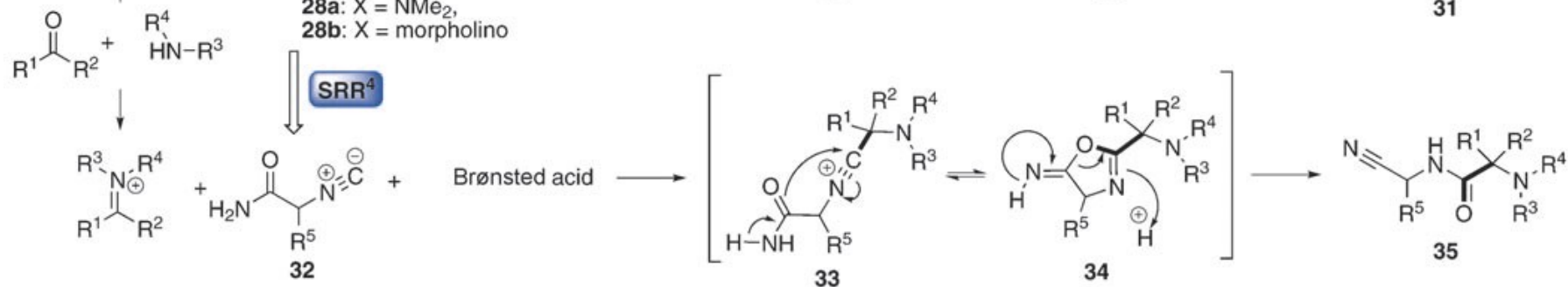


SRR³

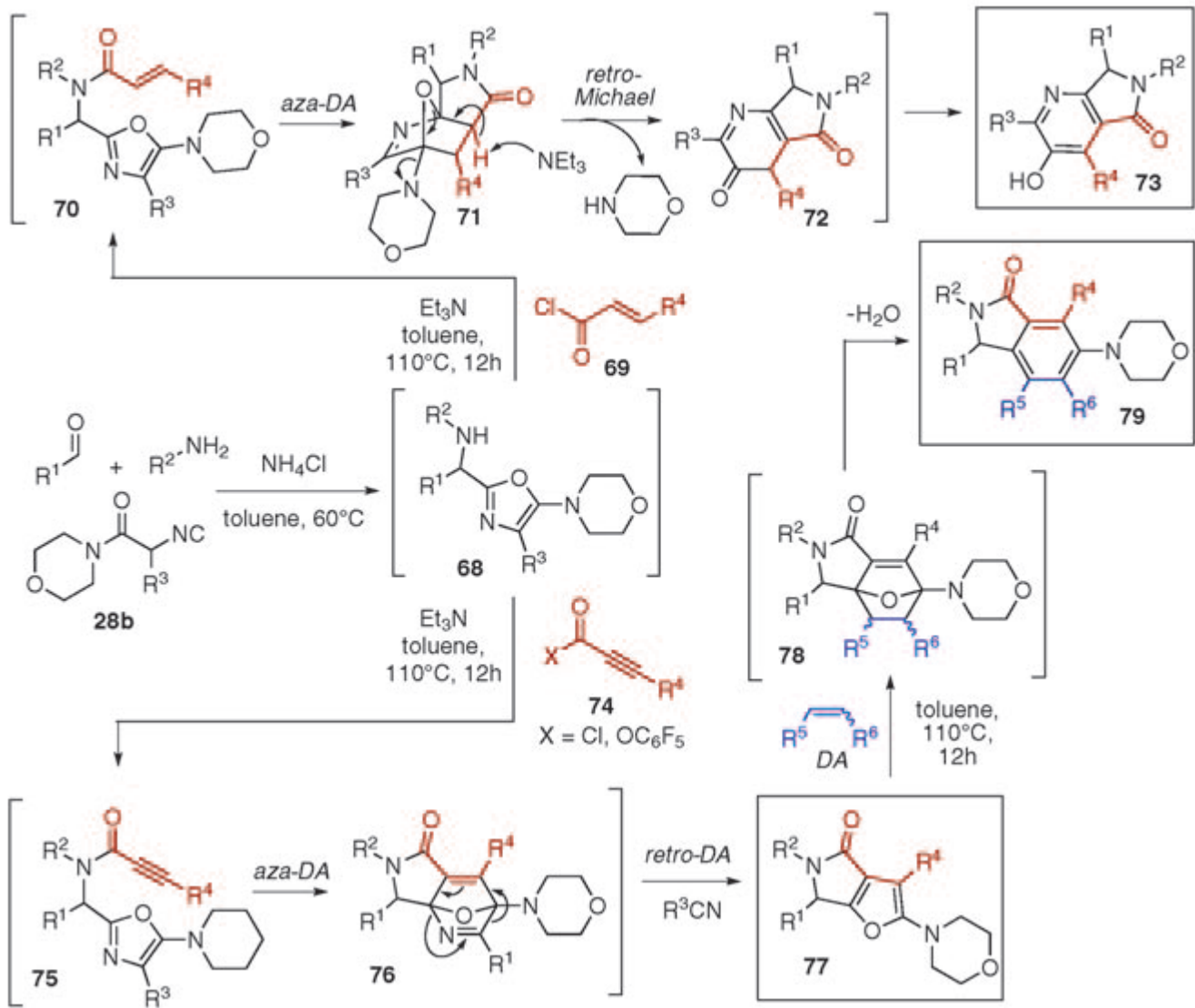


28a: X = NMe₂,
28b: X = morpholino

SRR⁴



Exercices



Exercices

